

EFEK KOMBINASI EKSTRAK RUMPUT LIDAH ULAR (*Hedyotis diffusa* WILLD.) DAN DOKSORUBISIN TERHADAP VIABILITAS

USEL KANKER PAYUDARA MCF-7

TUGAS AKHIR

**Untuk Memenuhi Persyaratan
Memperoleh Gelar Sarjana Farmasi**



Oleh:

Rika Parasayu

NIM 145070501111005

PROGRAM STUDI SARJANA FARMASI

FAKULTAS KEDOKTERAN

UNIVERSITAS BRAWIJAYA

MALANG

2018

HALAMAN PENGESAHAN

TUGAS AKHIR

EFEK SITOKSIK KOMBINASI EKSTRAK RUMPUT LIDAH Ular (*Hedysotis diffusa* WILLD.) DAN DOKSORUBISIN TERHADAP VIABILITAS SEL

KANKER PAYUDARA MCF-7

Oleh:
Rika Parasayu
145070501111005

Telah diuji pada
Hari : Senin
Tanggal : 9 Juli 2018
dan dinyatakan lulus oleh:

Penguji-I

dr. Hidayat Sujuti,Sp.M.,Ph.D
NIP. 196701231996011001

Pembimbing-II/Penguji-III,

Oktavia Rahayu A.S.Farm.,M.Biomed
NIP. 2016099210192001

Pembimbing-I/Penguji-II,

Dra. Diana Lyrawati,M.S.,Ph.D.,Apt
NIP. 2016099210192001

Mengetahui,

Ketua Program Studi Sarjana Farmasi,

Dr. Dra. Sri Winarsih, Apt., M.Si

NIP. 195408231981032001

KATA PENGANTAR

Puji syukur kehadirat Allah Yang Maha Esa atas berkah dan rahmat-Nya

sehingga penulis dapat menyelesaikan Tugas Akhir dengan judul "**Efek Kombinasi Ekstrak Rumput Lidah Ular (*Hedyotis diffusa* Willd.) dan**

Doksorubisin terhadap Viabilitas Sel Kanker Payudara MCF-7".

Dengan selesainya Tugas Akhir ini, penulis ingin mengucapkan terimakasih

kepada seluruh pihak yang telah membantu penyelesaiannya, antara lain:

1. Dr. dr. Sri Andarini, M.Kes., selaku dekan Fakultas Kedokteran Universitas Brawijaya (FKUB) yang telah memberikan kesempatan penulis untuk menempuh pendidikan di FKUB.

2. Dr. Dra. Sri Winarsih, M.Si., Apt., selaku Ketua Program Studi Sarjana Farmasi yang telah membimbing penulis selama menuntut ilmu di Program Studi Sarjana Farmasi FKUB.

3. Dra. Diana Lyrawati, M.S., Ph.D., Apt, selaku dosen pembimbing I yang dengan sabar telah memberikan arahan, bimbingan, dan saran-saran yang membangun dalam menyelesaikan Tugas Akhir.

4. Oktavia Rahayu A., S.Farm., M.Biomed, selaku dosen pembimbing II dan ketua tim penelitian yang dengan sabar telah memberikan arahan, bimbingan, dan saran-saran yang membangun dalam menyelesaikan Tugas Akhir.

5. dr. Hidayat Sujuti, Sp.M., Ph.D, selaku penguji yang telah memberikan banyak masukan.

6. Ayuk Lawuningtyas H., M. Farm., Apt., selaku ketua tim Tugas Akhir Program Studi Sarjana Farmasi FKUB.

7. Segenap anggota Tim Pengelola Tugas Akhir FKUB yang telah membantu tahap persiapan penelitian dan urusan administrasi.

8. Bunga Prihartini, S.Si., Analis serta Petugas Laboratorium Sentral Biomedik dan Laboratorium Farmasi FKUB yang telah memberikan arahan dan bantuan selama penelitian.
9. Yang tercinta Ayah Ri'in, Ibu Sunarti serta adik Ryan T., yang selalu memberikan motivasi, dukungan, dan doa serta kasih sayang yang tak terhingga kepada penulis.
10. Billy K., Dian F., dan Margareta P.K., sebagai teman seperjuangan dalam penelitian yang selalu memberikan dukungan dan semangat dalam penyusunan Tugas Akhir.
11. Adisti Mega, Fitri Al Vianita, Ika Ilmia, Nindi Eka Sari, dan Adibah Nur Maisaroh, yang selalu menjadi pendengar, penasihat, pendukung, dan penyemangat penulis.
12. Keluarga Besar HMF Aecus Prospisio Reinkarnasi, Meroket, dan Regenerasi yang telah memberikan pengalaman dan pembelajaran yang sangat luar biasa, terutama untuk BPI dan BPH HMF Regenerasi, Billy, Adibah, Dian, Jovana, Azizah, Arya, Nuke, Kiki, Gita, dan Zulfa.
13. Teman-teman Farmasi dan FKUB 2014 yang selalu mendukung, berbagi ilmu, cerita, dan canda tawa.
14. Semua pihak yang telah membantu penulis dalam menyelesaikan Tugas Akhir ini yang tidak dapat disebutkan satu per satu.

Penulis menyadari bahwa dalam penyusunan Tugas Akhir ini masih

terdapat kekurangan dan membutuhkan kritik maupun saran untuk diperbaikan.

Semoga Tugas Akhir ini dapat bermanfaat.

Malang, 13 Juli 2018

Penulis

ABSTRAK

Parasayu, Rika. 2018. **Efek Kombinasi Ekstrak Rumput Lidah Ular (*Hedyotis diffusa* Willd.) dan Doksorubisin terhadap Viabilitas Sel Kanker Payudara MCF-7.** Tugas Akhir. Program Studi Sarjana Farmasi. Fakultas Kedokteran. Universitas Brawijaya. Pembimbing: (1) Dra. Diana Lyrawati, M. S., Ph. D., Apt. (2) Oktavia Rahayu Adianingsih, S. Farm., M. Biomed.

Penggunaan doksorubisin sebagai kemoterapi kanker payudara sering kali dibatasi akibat toksisitasnya terhadap jantung. Rumput lidah ular (*Hedyotis diffusa* Willd.) merupakan obat bahan alam yang banyak diresepkan dalam herbal Cina untuk pengobatan kanker payudara. *Hedyotis diffusa* Willd. dan doksorubisin dikombinasikan sehingga dapat menurunkan dosis doksorubisin yang digunakan. Penelitian ini dilakukan untuk mengetahui nilai IC_{50} *Hedyotis diffusa* Willd. dan doksorubisin, efek kombinasi yang ditimbulkan, serta kombinasi konsentrasi yang dapat menimbulkan efek sinergis. *Hedyotis diffusa* Willd. diekstraksi dengan metode maserasi dalam pelarut etanol 80%. Kultur sel MCF-7 diberikan perlakuan dengan 7 seri konsentrasi selama 24 jam, kemudian nilai IC_{50} diukur menggunakan metode MTT. Kombinasi diberikan dengan konsentrasi 1/2 IC_{50} , 3/8 IC_{50} , 1/4 IC_{50} , dan 1/8 IC_{50} kemudian dihitung nilai CI. Nilai IC_{50} ekstrak *Hedyotis diffusa* Willd. sebesar $930 \pm 30,143 \mu\text{g/ml}$ ($p<0,0001$) dan doksorubisin sebesar $490 \pm 83,293 \text{nM}$ ($p<0,0001$). Kombinasi ekstrak *Hedyotis diffusa* Willd. dan doksorubisin didapatkan efek sinergis pada kombinasi konsentrasi doksorubisin 61 nM dengan ekstrak *Hedyotis diffusa* Willd. 116 $\mu\text{g/ml}$ dan 232 $\mu\text{g/ml}$. Berdasarkan hasil tersebut, diketahui bahwa kombinasi ekstrak *Hedyotis diffusa* Willd. dan doksorubisin mampu menimbulkan efek sinergis berdasarkan nilai CI.

Kata kunci: *Hedyotis diffusa* Willd., Doksorubisin, Viabilitas, *Combination Index*

ABSTRACT

Parasayu, Rika. 2018. **Combination Effect of Snake Tongue Grass (*Hedyotis diffusa Willd.*) and Doxorubicin on The Viability of Breast Cancer Cell MCF-7**. Final Assignment. Pharmacy Program. Faculty of Medicine. Brawijaya University. Supervisors: (1) Dra. Diana Lyrawati, M. S., Ph. D., Apt. (2) Oktavia Rahayu Adianingsih, S. Farm., M. Biomed.

Doxorubicin as chemotherapy for breast cancer is often limited due to its toxicity to the heart. Snake tongue grass (*Hedyotis diffusa Willd.*) is a herbal medicine prescribed in China as breast cancer treatment. *Hedyotis diffusa Willd.* and doxorubicin was combined to decrease doxorubicin's dose used. In this study, we investigated IC₅₀ value of *Hedyotis diffusa Willd.* and doxorubicin, their combination effects, and the concentrations that can have synergistic effects. *Hedyotis diffusa Willd.* was extracted using maceration method in 80% ethanol solvent. MCF-7 cell cultures were treated with 7 series concentrations for 24 hours, then IC₅₀ values were measured using MTT assay. The concentrations used for combination assay were 1/2 IC₅₀, 3/8 IC₅₀, 1/4 IC₅₀, and 1/8 IC₅₀ then CI value was calculated. The IC₅₀ value of *Hedyotis diffusa Willd.* was $930 \pm 30.143 \mu\text{g/ml}$ ($p<0.0001$) and doxorubicin was $490 \pm 83,293 \text{nM}$ ($p<0.0001$). The combination of *Hedyotis diffusa Willd.* and doxorubicin showed a synergistic effect on the concentration combination of doxorubicin was 61 nM and *Hedyotis diffusa Willd.* was 116 $\mu\text{g/ml}$ and 232 $\mu\text{g/ml}$. Based on these results, the combination of *Hedyotis diffusa Willd.* and doxorubicin causes synergistic effects based on CI values.

Keywords: *Hedyotis diffusa Willd.*, Doxorubicin, Viability, Combination Index

DAFTAR ISI

Halaman

Judul	i
Halaman Pengesahan	ii
Kata Pengantar	iii
Abstrak	v
<i>Abstract</i>	vi
Daftar Isi	vii
Daftar Tabel	x
Daftar Gambar	xi
Daftar Singkatan	xii
Daftar Lampiran	xiii

BAB 1. PENDAHULUAN

1.1 Latar Belakang	1
1.2 Rumusan Masalah	3
1.3 Tujuan	3
1.3.1 Tujuan Umum	3
1.3.2 Tujuan Khusus	4
1.4 Manfaat	4
1.4.1 Manfaat Akademis	4
1.4.2 Manfaat Praktis	4

BAB 2. TINJAUAN PUSTAKA

2.1 Kanker Payudara	5
2.1.1 Definisi	5
2.1.2 Epidemiologi	5
2.1.3 Patofisiologi	6
2.2 <i>Hedyotis diffusa</i> Willd.	7
2.2.1 Taksonomi	7
2.2.2 Morfologi dan Habitat	8
2.2.3 Kandungan Kimia	9
2.3 Doktorubisin	10
2.3.1 Deskripsi	10
2.3.2 Mekanisme Kerja	11
2.4 Michigan Cancer Foundation-7 (MCF-7)	13
2.5 Interaksi Obat	14
2.6 Combination Index (CI)	15

BAB 3. KERANGKA KONSEP DAN METODE PENELITIAN

3.1 Kerangka Konsep	18
3.2 Hipotesis Penelitian	20

BAB 4. METODE PENELITIAN 21

4.1 Rancangan Penelitian	21
4.2 Subjek Penelitian	21
4.3 Variabel Penelitian	21
4.4 Lokasi dan Waktu Penelitian	22
4.5 Bahan dan Alat Penelitian	22
4.8.1 Ekstraksi Rumput Lidah Ular	22
4.8.2 Kultur Sel	22
4.8.3 Uji Sitotoksik Tunggal	23
4.8.4 Uji Sitotoksik Kombinasi	23
4.6 Definisi Operasional	24
4.7 Prosedur Penelitian/Pengumpulan Data	25
4.7.1 Skema Prosedur Penelitian	25
4.7.2 Ekstraksi Herba Rumput Lidah Ular (<i>Hedyotis</i> Herba)	26
4.7.3 Kultur Sel	27
4.7.3.1 Preparasi Media Kultur Roswell Park Memorial Institute (RPMI)	27
4.7.3.2 Preparasi Media Kultur Lengkap (MK)	28
4.7.3.3 Preparasi Media Serum Free (SF)	29
4.7.3.4 Preparasi Media Cryo	30
4.7.3.5 Penumbuhan Sel (Cell Thawing)	31
4.7.3.6 Penggantian Media	32
4.7.3.7 Pemanenan Sel	33
4.7.3.8 Perhitungan Sel	34
4.7.3.9 Subkultur Sel	35
4.7.3.10 Cryopreservation	36
4.7.4 Uji Sitotoksik Tunggal	37
4.7.4.1 Preparasi Ekstrak <i>Hedyotis diffusa</i> Willd. (EHD)	37
4.7.4.2 Preparasi Doktorubisin (DOX)	38
4.7.4.3 Preparasi MTT	38
4.7.4.4 <i>Platting</i> Sel	39
4.7.4.5 Pemaparan Ekstrak <i>Hedyotis diffusa</i> Willd. (EHD) dan Doktorubisin (DOX)	40
4.7.4.6 Uji MTT	42
4.7.5 Uji Sitotoksik Kombinasi	43
4.7.5.1 Preparasi Ekstrak <i>Hedyotis diffusa</i> Willd. (EHD)	43
4.7.5.2 Preparasi Doktorubisin (DOX)	44
4.7.5.3 <i>Platting</i> Sel	44
4.7.5.4 Pemaparan Kombinasi Ekstrak <i>Hedyotis diffusa</i> Willd. (EHD) dan Doktorubisin (DOX)	45
4.7.5.5 Uji MTT	47
4.8 Pengumpulan Data	49

BAB 5. HASIL PENELITIAN DAN ANALISA DATA 50

5.1 Hasil Ekstraksi <i>Hedyotis diffusa</i> Willd.	50
5.2 Hasil Optimasi Jumlah Sel dan Waktu Inkubasi Sel	50
5.3 Hasil Uji Sitotoksik Tunggal	51
5.3.1 Hasil Uji Sitotoksik Tunggal Ekstrak <i>Hedyotis diffusa</i> Willd. (EHD)	52

5.3.2 Hasil Uji Sitotoksik Tunggal Doktorubisin (DOX)	53
5.4 Hasil Uji Sitotoksik Kombinasi	57
BAB 6. PEMBAHASAN	59
6.1 Pembahasan Hasil Penelitian	59
6.1.1 Ekstraksi <i>Hedyotis diffusa</i> Willd.	59
6.1.2 Efek Sitotoksik Tunggal Ekstrak <i>Hedyotis diffusa</i> Willd. (EHD) dan Doktorubisin (DOX)	60
6.1.2.1 Pengaruh Ekstrak <i>Hedyotis diffusa</i> Willd. (EHD) terhadap Viabilitas Sel	60
6.1.2.2 Pengaruh Doktorubisin (DOX) terhadap Viabilitas Sel	61
6.1.3 Efek Kombinasi Ekstrak <i>Hedyotis diffusa</i> Willd. (EHD) dan Doktorubisin (DOX)	62
6.2 Implikasi terhadap Bidang Kefarmasian	64
6.3 Keterbatasan Penelitian	64
BAB 7. PENUTUP	65
7.1 Kesimpulan	65
7.2 Saran	65
DAFTAR PUSTAKA.....	67

DAFTAR TABEL

Halaman

Tabel 2.1 Senyawa Fitokimia Rumput Lidah Ular	9
Tabel 4.1 Interpretasi Nilai <i>Combination Index</i>	48
Tabel 5.1 Hasil CI Kombinasi EHD dan DOX	58



DAFTAR GAMBAR

Halaman

Gambar 2.1 Rumput Lidah Ular	7
Gambar 2.2 Struktur Molekul Doksorubisin ($C_{27}H_{29}NO_{11}$)	11
Gambar 2.3 Mekanisme Kerja Doksorubisin	12
Gambar 2.4 Morfologi Sel MCF-7	14
Gambar 2.5 Isobogram <i>Combination Index</i>	16
Gambar 3.1 Kerangka Konsep Penelitian	18
Gambar 4.1 Skema Prosedur Penelitian	25
Gambar 4.2 Hemositometer	35
Gambar 4.3 Desain <i>Well Plate</i> Uji Sitotoksik Tunggal	41
Gambar 4.4 Desain <i>Well Plate</i> Uji Sitotoksik Kombinasi	46
Gambar 5.1 Pengamatan Sebaran Sel pada Optimasi Jumlah Penanaman Sel dan Waktu Inkubasi Sel	51
Gambar 5.2 Grafik Pengaruh Pemberian EHD terhadap Viabilitas Sel	52
Gambar 5.3 Sebaran Sel Setelah Inkubasi Selama 24 Jam dengan Penambahan EHD	54
Gambar 5.4 Grafik Pengaruh Pemberian DOX terhadap Viabilitas Sel	55
Gambar 5.5 Sebaran Sel Setelah Inkubasi Selama 24 Jam dengan Penambahan DOX	56
Gambar 5.6 Grafik Pengaruh Pemberian Kombinasi EHD dan DOX terhadap Viabilitas Sel	57
Gambar 8.1 Grafik Pengaruh Pemberian EHD pada Konsentrasi 800-1500 μ g/ml terhadap Viabilitas Sel	x
Gambar 8.2 Grafik Pengaruh Pemberian EHD pada Konsentrasi 300-1400 μ g/ml terhadap Viabilitas Sel	xi
Gambar 8.3 Grafik Pengaruh Pemberian EHD pada Konsentrasi 600-1400 μ g/ml terhadap Viabilitas Sel	xii
Gambar 8.4 Grafik Pengaruh Pemberian DOX pada Konsentrasi 100-500 nM terhadap Viabilitas Sel	xiii
Gambar 8.5 Grafik Pengaruh Pemberian DOX pada Konsentrasi 100-1000 nM terhadap Viabilitas Sel	xiv
Gambar 8.6 Grafik Pengaruh Pemberian DOX pada Konsentrasi 100-1000 nM terhadap Viabilitas Sel	xv

DAFTAR SINGKATAN

ATP	: Adenosin trifosfat
BRCA	: <i>Breast Cancer Susceptibility</i>
Caspase	: <i>Cysteine-aspartic Proteases</i>
CDK	: <i>Cycline-Dependent Kinase</i>
CI	: <i>Combination Index</i>
CK	: <i>Cytokeratin</i>
DMEM	: <i>Dulbecco's Modified Eagle Medium</i>
DNA	: <i>Deoxyribonucleic Acid</i>
DOX	: Dokсорубисин
EDTA	: <i>Ethylenediaminetetraacetic acid</i>
EHD	: Ekstrak <i>Hedysarum diffusum</i> Willd.
ELISA	: <i>Enzyme-linked Immunosorbent Assay</i>
EMA	: <i>Epithelial Membrane Antigen</i>
ER	: <i>Estrogen receptor</i>
FBS	: <i>Foetal Bovine Serum</i>
FDA	: <i>Food and Drug Administration</i>
GATA-3	: <i>GATA Binding Protein 3</i>
HPLC	: <i>High Performance Liquid Chromatography</i>
IC	: <i>Inhibition Concentration</i>
JNK	: <i>c-Jun N-terminal Kinase</i>
LAF	: <i>Laminar Air Flow</i>
MFGM	: <i>Milk Fat Globule Membrane Antigen</i>
MK	: <i>Media Kultur</i>
MTT	: <i>3-[4,5-dimetil-tiazol-2-il]-2,5 difenil tetrazolium bromide</i>
PBS	: <i>Phosphate Buffer Saline</i>
PHSA	: <i>Provincial Health Services Authority</i>
PI3K/AKT	: <i>Phosphatidyl-Inositol-3-Kinase / Akt mouse Thymoma</i>
PR	: <i>Progesterone Receptor</i>
RAS/MEK/ERK	: <i>Ras/MEK/Extracellular Signal-Regulated Kinases</i>
RPMI	: <i>Roswell Park Memorial Institute</i>
RR	: <i>Relative Risk</i>
SDS	: <i>Sodium Dodecyl Sulfate</i>
SF	: <i>Serum Free</i>
Topo-II	: <i>Topoisomerase II</i>
TUNEL	: <i>Terminal Deoxynucleotidyl Transferase dUTP Nick End Labelling</i>

DAFTAR LAMPIRAN

Lampiran 1. Kelaikan Etik	i
Lampiran 2. <i>Product Sheet MCF7 (ATCC, HTB-22)</i>	ii
Lampiran 3. Determinasi Tanaman Rumput Lidah Ular	v
Lampiran 4. <i>Product Sheet Doktorubisin</i>	vi
Lampiran 5. Perhitungan Pengenceran Ekstrak <i>Hedyotis diffusa</i> Willd. (EHD)	vii
Lampiran 6. Perhitungan Pengenceran Doktorubisin (DOX)	ix
Lampiran 7. Perhitungan Persentase Viabilitas Sel dan Perhitungan Nilai IC ₅₀ EHD	x
Lampiran 8. Perhitungan Persentase Viabilitas Sel dan Perhitungan Nilai IC ₅₀ DOX	xiii
Lampiran 9. Perhitungan Nilai CI Kombinasi EHD dan DOX	xvi
Lampiran 10. Sebaran Sel Setelah Penambahan Kombinasi EHD dan DOX dengan Inkubasi Selama 24 Jam.....	xix
Lampiran 11. Dokumentasi Penelitian	xxvi

HALAMAN PENGESAHAN

TUGAS AKHIR

EFEK SITOTOKSIK KOMBINASI EKSTRAK RUMPUT LIDAH Ular (*Hedyotis diffusa* WILLD.) DAN DOKSORUBISIN TERHADAP VIABILITAS SEL KANKER PAYUDARA MCF-7

Oleh:

Rika Parasayu

145070501111005

Telah diuji pada
Hari : Senin
Tanggal : 9 Juli 2018
dan dinyatakan lulus oleh:

Penguji-I

dr. Hidayat Sujuti, Sp.M., Ph.D
NIP. 196701231996011001

Pembimbing-II/Penguji-III,

Oktavia Rahayu A.S.Farm., M.Biomed
NIP. 2016099210192001

Pembimbing-I/Penguji-II,

Dra. Diana Lyrawati, M.S., Ph.D., Apt

NIP. 2016099210192001

Mengetahui,

Ketua Program Studi Sarjana Farmasi,

Dr. Dra. Sri Winarsih, Apt., M.Si

NIP. 195408231981032001

ABSTRAK

Parasayu, Rika. 2018. **Efek Kombinasi Ekstrak Rumput Lidah Ular (*Hedyotis diffusa* Willd.) dan Doksorubisin terhadap Viabilitas Sel Kanker Payudara MCF-7.** Tugas Akhir. Program Studi Sarjana Farmasi. Fakultas Kedokteran. Universitas Brawijaya. Pembimbing: (1) Dra. Diana Lyrawati, M. S., Ph. D., Apt. (2) Oktavia Rahayu Adianingsih, S. Farm., M. Biomed.

Penggunaan doksorubisin sebagai kemoterapi kanker payudara sering kali dibatasi akibat toksisitasnya terhadap jantung. Rumput lidah ular (*Hedyotis diffusa* Willd.) merupakan obat bahan alam yang banyak diresepkan dalam herbal Cina untuk pengobatan kanker payudara. *Hedyotis diffusa* Willd. dan doksorubisin dikombinasikan sehingga dapat menurunkan dosis doksorubisin yang digunakan. Penelitian ini dilakukan untuk mengetahui nilai IC_{50} *Hedyotis diffusa* Willd. dan doksorubisin, efek kombinasi yang ditimbulkan, serta kombinasi konsentrasi yang dapat menimbulkan efek sinergis. *Hedyotis diffusa* Willd. diekstraksi dengan metode maserasi dalam pelarut etanol 80%. Kultur sel MCF-7 diberikan perlakuan dengan 7 seri konsentrasi selama 24 jam, kemudian nilai IC_{50} diukur menggunakan metode MTT. Kombinasi diberikan dengan konsentrasi 1/2 IC_{50} , 3/8 IC_{50} , 1/4 IC_{50} , dan 1/8 IC_{50} kemudian dihitung nilai CI. Nilai IC_{50} ekstrak *Hedyotis diffusa* Willd. sebesar $930 \pm 30,143 \mu\text{g/ml}$ ($p<0,0001$) dan doksorubisin sebesar $490 \pm 83,293 \text{nM}$ ($p<0,0001$). Kombinasi ekstrak *Hedyotis diffusa* Willd. dan doksorubisin didapatkan efek sinergis pada kombinasi konsentrasi doksorubisin 61 nM dengan ekstrak *Hedyotis diffusa* Willd. 116 $\mu\text{g/ml}$ dan 232 $\mu\text{g/ml}$. Berdasarkan hasil tersebut, diketahui bahwa kombinasi ekstrak *Hedyotis diffusa* Willd. dan doksorubisin mampu menimbulkan efek sinergis berdasarkan nilai CI.

Kata kunci: *Hedyotis diffusa* Willd., Doksorubisin, Viabilitas, *Combination Index*

ABSTRACT

Parasayu, Rika. 2018. **Combination Effect of Snake Tongue Grass (*Hedyotis diffusa Willd.*) and Doxorubicin on The Viability of Breast Cancer Cell MCF-7**. Final Assignment. Pharmacy Program. Faculty of Medicine. Brawijaya University. Supervisors: (1) Dra. Diana Lyrawati, M. S., Ph. D., Apt. (2) Oktavia Rahayu Adianingsih, S. Farm., M. Biomed.

Doxorubicin as chemotherapy for breast cancer is often limited due to its toxicity to the heart. Snake tongue grass (*Hedyotis diffusa Willd.*) is a herbal medicine prescribed in China as breast cancer treatment. *Hedyotis diffusa Willd.* and doxorubicin was combined to decrease doxorubicin's dose used. In this study, we investigated IC₅₀ value of *Hedyotis diffusa Willd.* and doxorubicin, their combination effects, and the concentrations that can have synergistic effects. *Hedyotis diffusa Willd.* was extracted using maceration method in 80% ethanol solvent. MCF-7 cell cultures were treated with 7 series concentrations for 24 hours, then IC₅₀ values were measured using MTT assay. The concentrations used for combination assay were 1/2 IC₅₀, 3/8 IC₅₀, 1/4 IC₅₀, and 1/8 IC₅₀ then CI value was calculated. The IC₅₀ value of *Hedyotis diffusa Willd.* was $930 \pm 30.143 \mu\text{g/ml}$ ($p<0.0001$) and doxorubicin was $490 \pm 83,293 \text{nM}$ ($p<0.0001$). The combination of *Hedyotis diffusa Willd.* and doxorubicin showed a synergistic effect on the concentration combination of doxorubicin was 61 nM and *Hedyotis diffusa Willd.* was 116 $\mu\text{g/ml}$ and 232 $\mu\text{g/ml}$. Based on these results, the combination of *Hedyotis diffusa Willd.* and doxorubicin causes synergistic effects based on CI values.

Keywords: *Hedyotis diffusa Willd.*, Doxorubicin, Viability, Combination Index

BAB 1

PENDAHULUAN

1.1s Latar Belakang

Kanker payudara adalah keganasan yang terjadi pada jaringan payudara yang dapat berasal dari lobulus ataupun epitel duktus, dimana kanker payudara termasuk

salah satu jenis kanker terbanyak di Indonesia. Kanker payudara di Amerika menyerang hampir 92 dari 100.000 wanita, sedangkan di Indonesia kejadiannya mencapai 12 dari 100.000 wanita dengan angka kematian cukup tinggi yaitu mencapai 27 dari 100.000 wanita atau sekitar 18% (Kemenkes RI, 2009). Menurut *Population-based Cancer Registration in Indonesia*, kanker payudara menjadi kanker yang paling

banyak terjadi pada wanita di tahun 2005-2007 dengan angka kejadian sebesar 18,6 per 100.000 wanita (Wahidin et al., 2012). Selain itu, berdasarkan data Sistem Informasi Rumah Sakit pada tahun 2007, diketahui bahwa kanker payudara pada pasien rawat inap di Rumah Sakit seluruh Indonesia telah menjadi kasus nomor satu dengan angka kejadian sebesar 8.227 kasus atau 16,85%. Keadaan yang sama terjadi di Provinsi Jawa Timur dimana kanker payudara menjadi kasus nomor satu pada pasien rawat inap maupun pasien rawat jalan (Rahmatari, 2014).

Kebanyakan kanker payudara adalah adenokarsinoma yang dimulai pada jaringan kelenjar (American Cancer Society, 2018). Sel Michigan Cancer Foundation-7 (MCF-7) merupakan lini sel kanker payudara yang diambil dari jaringan payudara pasien adenokarsinoma. Sel MCF-7 mempunyai karakteristik antara lain mengekspresikan estrogen reseptor (ER) positif, tidak mengekspresikan caspase-3,

dan hipertriploid (ATCC, 2008). Hipertriploid menyebabkan sel kanker berkembang

dengan lebih cepat, sehingga diperlukan terapi berupa kemoterapi. Kemoterapi yang

saat ini masih efektif penggunaannya untuk kanker payudara adalah doksorubisin.

Doksorubisin merupakan obat antrasiklin pertama yang diisolasi dari *Streptomyces*

peucetius var. caesius pada 1970-an dan sering digunakan sebagai pengobatan

dalam kanker termasuk kanker payudara, kanker paru-paru, kanker lambung, kanker

rahim, serta kanker tiroid (Thorn et al., 2011). Doksorubisin mempunyai kemampuan

dalam menghambat pembelahan sel secara cepat dan memperlambat perkembangan

penyakit yang telah diakui secara luas selama beberapa dekade (Tacar et al., 2013).

Namun, penggunaan doksorubisin sendiri seringkali dibatasi akibat toksisitas

terhadap jantung ditimbulkan yang tergantung pada akumulasi dosis yang digunakan

(PHSA, 2017).

Terapi kanker payudara dapat dibantu dengan memanfaatkan bahan alamiah.

Penderita kanker menggunakan obat bahan alam sebagai pencegahan primer,

pencegahan kambuhnya kanker, meningkatkan sistem kekebalan tubuh dan

mengurangi efek samping akibat penggunaan pengobatan modern (Safarzadeh et al.,

2014). Pengobatan herbal Cina banyak meresepkan rumput lidah ular (*Hedysotis*

diffusa Willd.) untuk pasien kanker payudara dan kanker usus besar. Berdasarkan

data statistik dari *National Health Insurance Research Database of Taiwan*, *Hedysotis*

diffusa Willd. ini memiliki beberapa aktivitas farmakologis seperti antikanker,

imunomodulator, antioksidan, dan anti-inflamasi (Chen et al., 2016). Penelitian yang

dilakukan oleh Liu et al. (2010) mengamati bahwa kandungan metil antrakuinon dari

rumput lidah ular menginduksi apoptosis sel MCF-7 (Liu et al., 2010).

Uraian diatas mendukung untuk dilakukan penelitian mengenai kombinasi

ekstrak rumput lidah ular (*Hedyotis diffusa* Willd.) dan doktorubisin yang diharapkan

mampu memberikan efek yang sinergis sehingga dapat menurunkan dosis

doktorubisin yang dibutuhkan, sehingga dapat menurunkan toksitas doktorubisin.

Efek kombinasi ekstrak rumput lidah ular (*Hedyotis diffusa* Willd.) dan doktorubisin

diukur menggunakan *combination index* (CI) dengan melihat perubahan viabilitas sel

MCF-7, sehingga didapatkan dosis kombinasi yang tepat.

1.2 Rumusan Masalah

1.2.1 Apakah ekstrak rumput lidah ular (*Hedyotis diffusa* Willd.) dan doktorubisin mempunyai efek sitotoksik berdasarkan nilai viabilitas sel pada kultur sel MCF-7?

1.2.2 Apakah kombinasi ekstrak rumput lidah ular (*Hedyotis diffusa* Willd.) dan doktorubisin mampu memberikan efek sitotoksik yang sinergis berdasarkan *combination index* (CI) pada kultur sel MCF-7?

1.3 Tujuan Penelitian

1.3.1 Tujuan Umum

Membuktikan bahwa ekstrak rumput lidah ular (*Hedyotis diffusa* Willd.) dan doktorubisin mampu memberikan efek sitotoksik pada kultur sel MCF-7.

1.3.2 Tujuan Khusus

Menentukan jenis interaksi sitotoksik dan dosis kombinasi ekstrak rumput lidah

ular (*Hedyotis diffusa* Willd.) dan doksorubisin yang mampu memberikan efek

sitotoksik yang sinergis pada kultur sel MCF-7 berdasarkan *combination index* (CI).

1.4 Manfaat Penelitian

1.4.1 Manfaat Akademik

Penelitian ini diharapkan mampu memberikan informasi yang berguna bagi

pengembangan ilmu pengetahuan di bidang bahan alam dan biomedik terutama

mengenai jenis interaksi sitotoksik dan dosis kombinasi antara ekstrak rumput lidah

ular (*Hedyotis diffusa* Willd.) dan doksorubisin yang memberikan interaksi sinergis

terhadap sel kanker payudara.

1.4.2 Manfaat Praktis

Melalui penelitian ini diharapkan mahasiswa dapat berkontribusi dalam

pengembangan obat bahan alam untuk terapi tambahan kanker payudara

menggunakan kombinasi ekstrak rumput lidah ular (*Hedyotis diffusa* Willd.) dan

doksorubisin.

BAB 2

TINJAUAN PUSTAKA

2.1s B Kanker Payudara

2.1.1 Definisi

Kanker merupakan suatu proses penyakit yang ditandai oleh adanya

proliferasi atau pembelahan sel yang tidak terkontrol sehingga menimbulkan adanya

massa atau tumor (Wulandari, 2008). Kanker payudara merupakan keganasan di sel

kelenjar, saluran kelenjar, ataupun jaringan penunjang pada payudara, dimana kanker

payudara ini ditandai dengan adanya benjolan pada payudara yang bahkan pada

stadium lanjut dapat menyebabkan rasa sakit (Sihombing & Saparudin, 2014). Kanker

payudara sendiri termasuk dalam salah satu jenis kanker yang sering terjadi pada

wanita, walaupun tidak menutup kemungkinan laki-laki juga dapat menderita kanker

payudara. Namun, kasus kanker payudara pada pria sangat jarang terjadi (Rahmatari,

2014).

2.1.2 Epidemiologi

Kanker yang paling sering terjadi didunia adalah kanker paru-paru yaitu

sebesar 1,8 juta, kanker payudara sebesar 1,7 juta dan kanker kolorektum sebesar

1,4 juta. Kanker menyerang 12,7 juta orang dan 7,6 juta diantaranya meninggal di

tahun 2008. Berdasarkan data GLOBOCAN 2012, sebanyak 56,8% kanker terjadi di

negara berkembang dengan angka kematian 64,9% dan akan terus meningkat seiring

dengan peningkatan pertumbuhan dan penuaan populasi secara global. Wanita yang

didiagnosa mengalami kanker payudara di tahun 2012 sebesar 1,7 juta wanita dan

6,3 juta wanita hidup setelah didiagnosa mengalami kanker payudara selama 5 tahun.

Kanker payudara merupakan kanker yang paling sering menyebabkan kematian pada wanita dengan jumlah kasus sebesar 522.000 wanita yang meninggal pada tahun 2012 pada 140 negara (IARC, 2013).

2.1.3 Patofisiologi

Kanker payudara biasanya terjadi akibat adanya interaksi antara lingkungan dan faktor genetik. Jalur PI3K/AKT (*Phosphatidyl-Inositol-3-Kinase / Akt mouse thymoma*) dan RAS/MEK/ERK (*Ras/MEK/Extracellular Signal-Regulated Kinases*) menjaga sel normal dari apoptosis. Saat gen yang mengkode jalur proteksi ini mengalami mutasi, sel menjadi tidak mampu untuk melakukan apoptosis saat sel tersebut tidak lagi dibutuhkan, dimana hal ini akan memicu perkembangan dari kanker. Mutasi ini dibuktikan secara eksperimental menggunakan paparan estrogen.

Adanya abnormalitas dalam faktor pertumbuhan dapat memfasilitasi pertumbuhan sel ganas. Ekspresi berlebih dari jaringan adiposa payudara leptin dapat meningkatkan proliferasi sel kanker. Beberapa mutasi yang berkaitan dengan kanker seperti p53, BRCA1 dan BRCA2, terjadi dalam mekanisme koreksi *Deoxyribonucleic acid (DNA)* yang menyebabkan pembelahan tidak terkontrol dan metastase ke organ yang lebih jauh. Mutasi pada gen BRCA1 dan BRCA2 dapat mengganggu *cross link DNA* dan

pemecahan rantai ganda DNA. GATA-3 (*GATA Binding Protein 3*) secara langsung mengontrol ekspresi dari reseptor estrogen (ER) dan gen lain yang berhubungan dengan diferensiasi epitel payudara. Kurangnya GATA-3 menyebabkan hambatan dalam diferensiasi dan prognosis yang lemah sehingga meningkatkan invasi sel kanker dan metastase ke organ lain (Kabel & Baali, 2015).

Pemeriksaan imunohistokimia telah digunakan luas sebagai dasar pemilihan

terapi hormonal dan *targeting therapy*. Imunohistokimia digunakan untuk

mengkarakterisasi protein intraseluler atau sel permukaan di semua jaringan,

mengetahui subtipe tumor serta membedakan metastasis tumor primer. Kelenjar

payudara normal terdiri dari tiga tipe sel yang mengekspresikan subset protein

berbeda antara lain luminal, basal, dan myoepitel. Sel luminal mengekspresikan

cytokeratin (CK) 7, CK 8, CK 18, CK 19, *epithelial membrane antigen* (EMA), *milk fat*

globule membrane antigen (MFGM), α -*lactalbumin*, *estrogen receptor* (ER), dan

progesterone receptor (PR). Sel myoepitel mengekspresikan tipe sel basal CK dan

marker spesifik yaitu aktin otot polos, kalponin, S100, dan p63. Sedangkan sel basal

mengekspresikan CK 5, CK 6, CK 14, dan CK 17 (Zaha, 2014).

2.2 *Hedyotis diffusa* Willd.

2.2.1 Taksonomi



Gambar 2.1 Rumput Lidah Ular (Sumber: Dokumentasi Pribadi).

Rumput lidah ular atau *Hedyotis diffusa* Willd. ini mempunyai nama lokal lidah

ting di Jawa, daniri di Thailand dan *Bai Hua She She Cao* di Cina. (GBIF, 2017; IUCN, 2017). Berikut adalah taksonomi dari rumput lidah ular (Cho, 2011):

Kingdom : Plantae

Superdivisi : Spermatophyta

Divisi : Magnoliophyta

Kelas · Magnolionsida

Sub kelas : Asteridae

Orde : Contingentes

Familie - Freizeit - Reisen

2000 Mathematics

Chilean **Patagonian** **United** **W**

Morfologi dan Habitat

2.2.2 Mortologi dan Habitat

Rumput lidah ular merupakan tumbuhan yang bercabang mencapai 50 cm

dengan cabang yang ramping berada diatas tanah atau tumbuh naik keatas,

cabangnya halus. Daunnya berbentuk elips atau linear seperti pisau pembedah yang

panjangnya 1 sampai 3 cm. Tumbuhan ini mempunyai bunga berwarna putih yang

berada pada ujung cabang sejumlah satu buah (*homostylous*) dengan panjang sekitar

3 mm. Buahnya berbentuk seperti kapsul dan menyerupai telur yang panjangnya

kurang lebih 4 mm (Bui-Jiang et al. 2014; Stuart 2014) sitas Brawijaya Universitas

Bantuan Ide Buku ini dapat ditemui di www.vivacreatif.com atau www.bangkit.id

Thailand. Tanaman ini mempunyai habitat di tempat berpasir, termasuk dataran rendah basah dan sawah (IUCN, 2017).

2.2.3 Kandungan Kimia

Penelitian-penelitian yang dilakukan pada *Hedyotis diffusa* Willd. telah menerangkan beberapa senyawa fitokimia, diantaranya dapat dilihat pada **Tabel 2.1** (Chen et al., 2016).

Tabel 2.1 Senyawa Fitokimia Rumput Lidah Ular

Nama Golongan	Keterangan
Iridoid	32 jenis iridoid dan glukosida iridoid telah diisolasi, diantaranya <i>asperuloside</i> , <i>deacetyl asperuloside</i> , <i>asperuloside acid</i> , dan <i>deacetyl asperulosidic acid</i> . Iridoid mempunyai beberapa aktivitas seperti anti-oksidan, neuroprotektif, dan anti-inflamasi.
Triterpenoid	Terdiri dari arborinon, isoarborinol, <i>oleanolic acid</i> , dan <i>ursolic acid</i> .
Flavonoid	26 flavonoid telah diisolasi diantaranya kaempferol, kuarsetin, <i>chrys in</i> , <i>oxylin</i> , dan wogonin.
Antrakuinon	Senyawa antrakuinon rumput lidah ular mempunyai karakteristik yaitu pada skeleton antrakuinon 9, 10 terdapat hidroksi, metil dan atau kelompok metoksi, seperti 2-hidroksi-3-metilantrakuinon.
Asam Fenol	23 senyawa asam fenol dan derivatnya telah berhasil diidentifikasi, diantaranya <i>caffeooyl hexoside</i> , <i>ferulic acid</i> , dan <i>p-Coumaric acid</i> .
Sterol	Hanya 4 sterol yang dapat diisolasi, diantaranya daukosterol, β -sitosterol, stigmasterol, dan stigmasterol-5,2-diene-3 β .
Polisakarida	Hanya satu senyawa polisakarida yang dapat diisolasi yaitu ODP-1. Senyawa ini telah dilakukan uji aktivitas dalam meningkatkan sistem kekebalan tubuh.
Siklotida	Terdapat 3 senyawa yang telah diisolasi antara lain CD1, CD2, dan CD3.
Kumarin	Dua senyawa kumarin yang diidentifikasi yaitu 7-hidroksi-6-metoksi-kumarin dan eskuletin.
Alkaloid	Dua senyawa alkaloid yang berhasil diidentifikasi adalah <i>10(S)-hydroxy pheophytin a</i> dan <i>aurantiamide acetate</i> .

Dong et al. (2014) menyebutkan bahwa ekstrak alkaloid/flavonoid mempunyai

aktivitas antitumor lebih besar daripada antrakuinon, glukosida iridoid, dan stigmasterol terhadap lini sel MCF-7 (Dong et al., 2014). Penelitian yang dilakukan Gu

et al. (2012) mengisolasi *ursolic acid*, dan asam oleanolat dan ditemukan bahwa

kedua senyawa ini efektif dalam menurunkan resistensi tamoksifen dari derivat lini sel

MCF-7 yang resisten terhadap terapi anti-estrogen (*Gu et al.*, 2012). *Liu et al.* (2010)

mengelakukan penelitian untuk mengetahui mekanisme apoptosis yang dimediasi oleh

metil antrakuinon pada lini sel MCF-7. Pada penelitian tersebut diketahui bahwa terjadi

peningkatan persentase sel apoptosis, kalsium intraseluler, fosforilasi *c-Jun-N-*

terminal kinase (JNK), dan aktivasi *calpain*. Selain itu terjadi penurunan membran

potensial mitokondria dan sitokrom c yang dikeluarkan dari mitokondria ke sitosol.

Metil antrakuinon juga diketahui secara kuat dapat mengaktifasi caspase-4, caspase-

9, dan caspase-7 pada lini sel MCF-7 (*Liu et al.*, 2010).

2.3 Doksorubisin

2.3.1 Deskripsi

Antibiotik antrasiklin yang pertama kali ditemukan dan diisolasi adalah

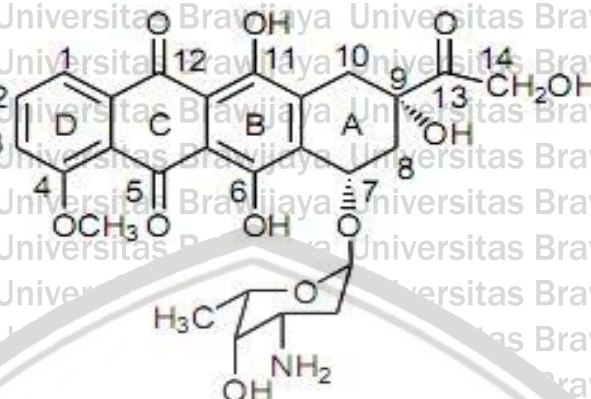
daunorubisin pada awal tahun 1957 dari aktinobakteri *Streptomyces peucetius*. Pada

akhir tahun 1969, ditemukan doksorubin, sebuah analog daunorubisin. Sejak saat itu,

banyak dilakukan penelitian terkait farmakodinamik dan farmakokinetik dari

doksorubisin (*Lu*, 2010). Struktur molekul doksorubisin dapat dilihat pada **Gambar**

2.2.



Gambar 2.2. Struktur Molekul Doksorubisin ($C_{27}H_{29}NO_{11}$) (Lu, 2010).

Doksorubisin tersusun dari nukleus naptasenkuinon yang berikatan melalui ikatan *glycosidic* pada cincin atom 7 ke amino gula, daunosamin.

Doksorubisin merupakan antibiotik antrasiklin yang diisolasi dari *Streptomyces*

peucetius var. caesius. Doksorubisin mengikat asam nukleat, yang diduga terjadi

akibat adanya interkalasi spesifik planar inti antrasiklin dengan DNA untai ganda.

Cincin antrasiklin bersifat lipofilik, tetapi sistem cincin ini mengandung gugus hidroksil

yang melimpah yang bersebelahan dengan gula amino sehingga menjadi hidrofilik.

Molekul ini bersifat amfoterik yang mengandung fungsi asam pada kelompok cincin

fenol dan fungsi basa pada kelompok gula amino (FDA, 2003).

2.3.2 Mekanisme Kerja

Dua mekanisme yang telah diketahui dalam aktivitas antikanker doksorubisin

antara lain dengan mengikat DNA secara langsung dengan interkalasi diantara

pasangan basa pada untai DNA dan mengganggu perbaikan DNA yang dimediasi

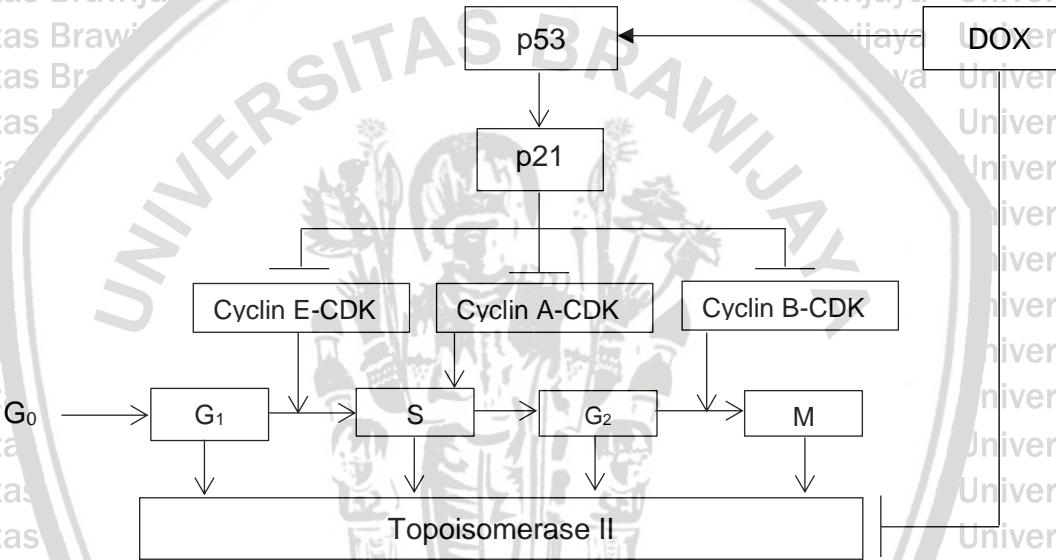
oleh topoisomerase II (topo II), serta pembentukan radikal bebas dan kerusakan

membran sel DNA akibat kompleks yang terbentuk antara doksorubisin dan besi

(Thorn *et al.*, 2011; PHSA, 2017).

Minotti *et al.* (2004) merangkumkan mekanisme kerja dari aktivitas antikanker

doksorubisin meliputi hambatan pada topo II yang distimulasi oleh interkalasi DNA, kerusakan oksidatif oleh radikal bebas, apoptosis yang diinduksi oleh jalur protein penekan tumor p53 dan interkalasi dengan proteasom yang memediasi transport doksorubisin dalam nukleus (Lu, 2010). Mekanisme kerja doksorubisin dapat dilihat pada **Gambar 2.3**.



Gambar 2.3 Mekanisme Kerja Doksorubisin

Doksorubisin menginduksi protein pensupresi tumor p53 sehingga p53 mengekspresikan p21 sebagai regulator sangat berperan penting terhadap regulasi siklus sel. Protein p21 akan menghambat kompleks cyclin-CDK sehingga menghambat sintesis DNA. Doksorubisin juga dapat menghambat enzim topoisomerase 2 yang berperan penting dalam perubahan topologis DNA.

Dimodifikasi dari: Lu, 2010.

Hambatan topoisomerase II menyebabkan kerusakan untai ganda DNA dan kematian sel. Topoisomerase II merupakan enzim adenosin trifosfat (*ATP*)-*depending* yang mempunyai dua bentuk pada manusia yaitu topoisomerase II α dan topoisomerase II β . Interaksi antara doksorubisin dan DNA dapat menstabilisasi ikatan

kovalen yang dimediasi oleh formaldehida seluler yang berasal dari reaksi radikal

bebas dari sumber karbon seperti lipid. Struktur kuion doksorubisin dapat dioksidasi

menjadi radikal semikuion dengan penambahan satu elektron. Radikal semikuion

ini secara cepat bereaksi dengan oksigen untuk menghasilkan superokida dan

hydrogen peroksida yang menyebabkan kerusakan DNA (Yang et al., 2014).

Doksorubisin dapat meningkatkan kadar gen penekan tumor p53. Akibatnya, regulasi

cyclin-dependent kinase (CDK) meningkat dan menghambat protein p21, sehingga

menghambat sintesis DNA. Pada jalur yang lain, doksorubisin secara langsung

merusak mitokondria sehingga menyebabkan pelepasan sitokrom c sehingga terjadi

apoptosis dari sel kanker (Lu, 2010).

2.4 ***Michigan Cancer Foundation-7 (MCF-7)***

Sel MCF-7 merupakan sel yang diambil dari tempat efusi pleural metastasis

kanker payudara pada penderita kanker payudara, dimana sel ini menyerupai sel

epitel dan tumbuh secara *monolayer*. Sel MCF-7 ini sering atau umum digunakan

untuk menguji efek kanker payudara secara *in vitro*. Biakan dari sel MCF-7 ini

mempunyai karakteristik-karakteristik tertentu pada epitel mammae, termasuk

kemampuannya untuk memproduksi estradiol melalui reseptori dan sitoplasma

(Widowati and Mudahar, 2009).

Sel MCF-7 diambil dari jaringan payudara seorang wanita Kaukasian berusia

69 tahun dengan golongan darah O dan rhesus positif. Sel ini dapat ditumbuhkan pada

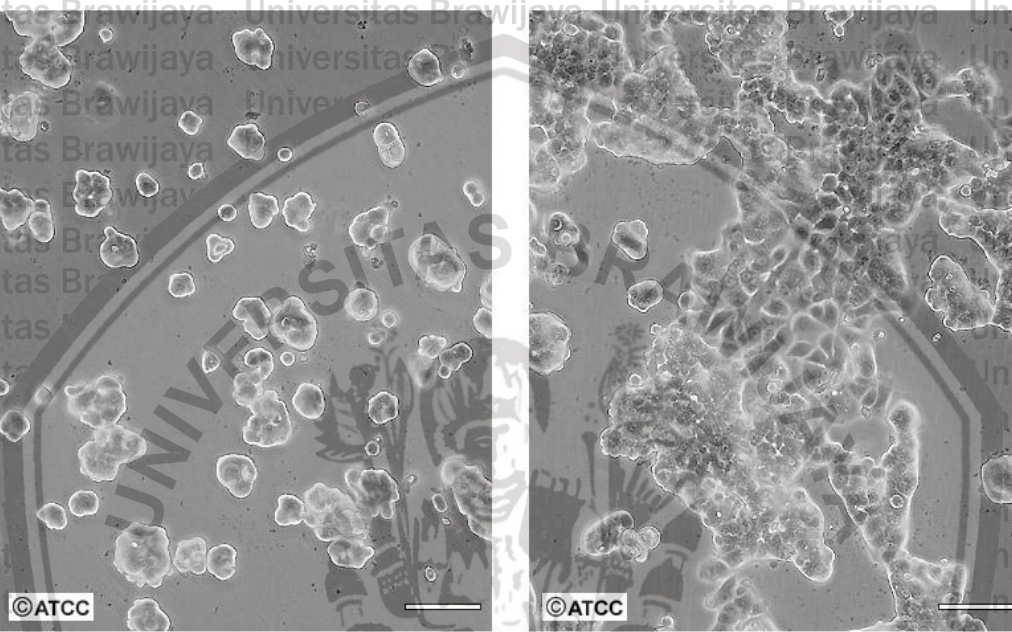
media Dulbecco's Modified Eagle Medium (DMEM) atau Roswell Park Memorial

Institute (RPMI) yang mengandung antibiotik Penisilin-Steptomisin 1% dan Foetal

Bovine Serum (FBS) 10% (Yunas *et al.*, 2017). Morfologi sel MCF-7 dapat dilihat pada

Gambar 2.4.

ATCC Number: **HTB-22**
Designation: **MCF-7**



Gambar 2.4 Morfologi Sel MCF-7 (ATCC, 2008).

Morfologi sel MCF-7 dengan skala baris 100 μ m. Sel MCF-7 ditumbuhkan dalam media *Eagle's Minimum Essential Medium* dengan insulin rekombinan manusia 0,01 mg/ml dan *Fetal Bovine Serum* 10%.

2.5 Interaksi Obat

Interaksi antara obat konvensional dengan obat bahan alam dapat meningkatkan atau menurunkan efek farmakologi dan efek toksik. Efek sinergis biasanya terjadi pada terapi jangka panjang seperti penggunaan obat bahan alam untuk menurunkan kadar glukosa darah pada pasien diabetes, secara teori dapat menyebabkan hipoglikemia jika digunakan bersama dengan obat konvensional. Interaksi obat didefinisikan sebagai adanya modifikasi yang disebabkan oleh senyawa eksogen dalam diagnosa, terapi, maupun aksi lain dari obat didalam tubuh.

Mekanisme interaksi obat secara umum dibagi menjadi dua yaitu farmakokinetik yang

terdiri dari absorpsi, distribusi, metabolisme, dan ekskresi; serta farmakodinamik yang

terdiri dari sinergis, aditif dan antagonis. Adanya obat bahan alam dapat

menurunkan/menaikkan absorpsi obat dalam tubuh dengan berbagai mekanisme.

Pada proses distribusi obat, obat bahan alam erat kaitannya dengan ikatan protein

plasma yang berpengaruh terhadap konsentrasi obat bebas didalam darah. Obat

bahan alam dapat menginduksi/menghambat sitokrom P-450 sehingga dapat

mempengaruhi proses metabolisme obat didalam tubuh (Ismail, 2009). Penggunaan

obat bahan alam dan obat konvensional secara bersamaan yang menimbulkan efek

yang lebih besar daripada jumlah efek dari kedua terapi tersebut, disebut dengan

interaksi sinergis. Interaksi aditif terjadi apabila efek dari penggunaan obat bahan alam

dan obat konvensional secara bersamaan menimbulkan efek yang sama dengan

penjumlahan efek tiap-tiap terapi. Sedangkan interaksi antagonis terjadi saat efek dari

penggunaan obat konvensional dengan obat bahan alam secara bersamaan

menimbulkan efek yang kurang dari jumlah efek dari kedua terapi tersebut (Suprapti,

2008).

2.6 s B **Combination Index (CI)**

Kombinasi obat banyak digunakan untuk pengobatan penyakit seperti kanker

dan Acquired Immune Deficiency Syndrome (AIDS). Alasan utama kombinasi obat ini

adalah untuk mendapatkan efek terapeutik yang sinergis, menurunkan dosis dan

toksisitas, serta meminimalisir resistensi. Tahun 1984, Br Chou dan Talalay

memperkenalkan konsep “*Combination Index*” (CI) yang secara kuantitatif

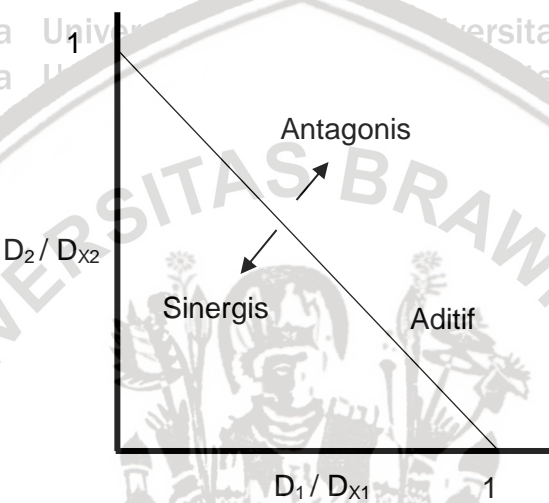
menggambarkan efek sinergis, aditif, dan antagonis. Br Chou dan Talalay

mendefinisikan “*combination index*” menggunakan kombinasi dosis, d_1 dari agen A

dicampur dengan d_2 dari agen B. Nilai $CI < 1$ maka kombinasi dapat dideskripsikan

sebagai sinergisme, jika $CI > 1$ maka antagonisme dan jika $CI = 1$ maka aditif. Grafik

isobogram *combination index* dapat dilihat pada **Gambar 2.5.**



Gambar 2.5 Isobogram Combination Index (Chou, 2010)

Nilai $CI=1$ dideskripsikan sebagai efek aditif, nilai $CI > 1$ dideskripsikan sebagai efek antagonis, dan nilai $CI < 1$ dideskripsikan sebagai efek sinergis.

Analisa dosis-efek pada CI didasarkan pada hukum aksi-massa. Penentuan

efek sinergis kombinasi obat berdasarkan hukum aksi-massa tidak tergantung dari

mekanisme kerjanya. Hal ini dapat diakibatkan oleh minimnya pengetahuan mengenai

mekanisme kerja suatu senyawa serta mode aksi suatu senyawa yang berbeda-beda.

Contohnya apabila suatu obat dapat meningkatkan atau menurunkan ekspresi gen

tertentu yang tidak diketahui secara pasti apakah berdampak pada efek sinergisme

kedua senyawa. *Combination index* dapat dikalkulasikan sebagai berikut (Chou, 2010;

Le, 2014):

$$Cl = \frac{D_1}{Dx_1} + \frac{D_2}{Dx_2}$$

DX: Kombinasi terapi tunggal yang dibutuhkan untuk memberikan efek sebesar efek kombinasi. D1, D2: Konsentrasi kedua senyawa untuk memberikan efek yang sama.

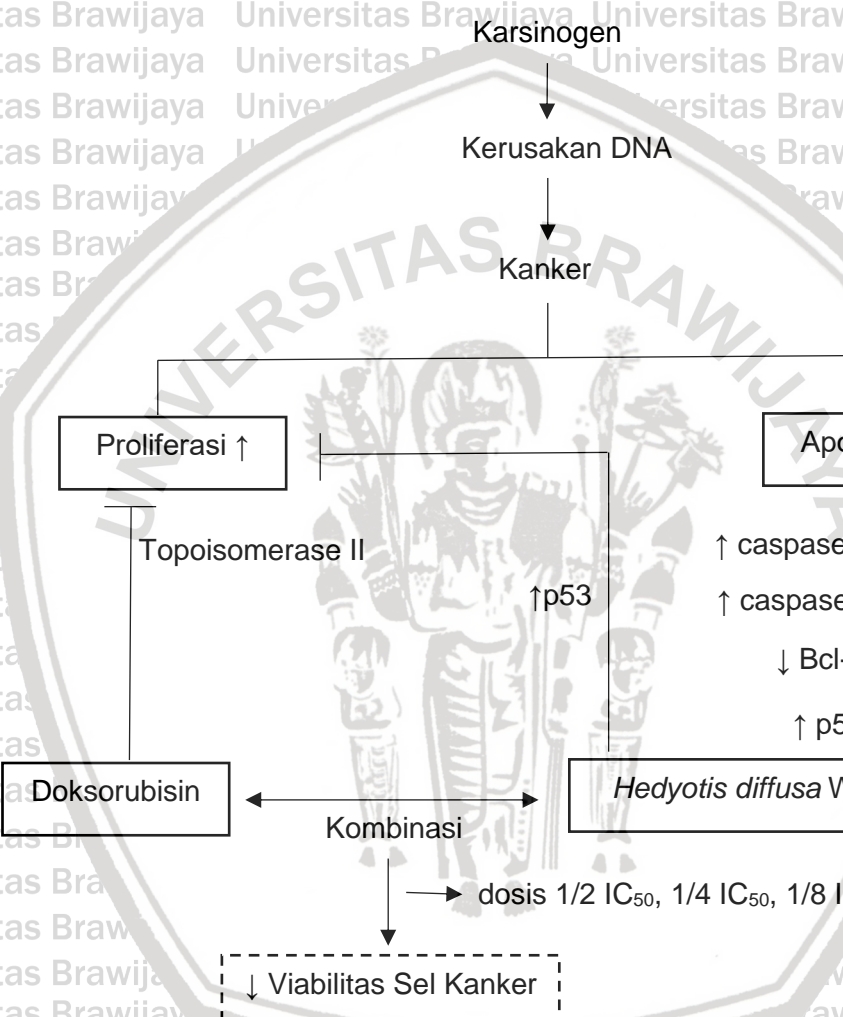


UNIVERSITAS BRAWIJAYA

BAB 3

KERANGKA KONSEP DAN HIPOTESIS PENELITIAN

3.1 Kerangka Konsep



Gambar 3.1 Kerangka Konsep Penelitian

Keterangan:

→ : menginduksi

— : menghambat

↔ : kombinasi

[] : variabel yang tidak diteliti

[] : variabel yang diteliti

Adanya karsinogen dapat menyebabkan kerusakan DNA yang memicu terjadinya kanker. Kanker timbul karena adanya proliferasi sel yang tinggi dan apoptosis yang rendah. Doksorubisin merupakan obat konvensional antikanker yang dapat menurunkan proliferasi sel dengan cara menghambat kerja dari enzim topoisomerase II yang berperan penting dalam perubahan bentuk topologis DNA selama proses replikasi dan transkripsi. *Hedyotis diffusa* Willd. merupakan obat bahan alam yang banyak dikembangkan di Cina sebagai terapi kanker dengan menginduksi protein pensupresi tumor p53 yang berperan penting dalam menjaga homeostasis sel dengan cara menginduksi ekspresi protein p21 sebagai regulator siklus sel. *Hedyotis diffusa* Willd. diketahui dapat menginduksi apoptosis melalui jalur intrinsik dan ekstrinsik. Pada jalur ekstrinsik yaitu dengan menginduksi ikatan antara FasR dan FasL. Pada apoptosis jalur ekstrinsik *Hedyotis diffusa* Willd. juga dapat mengaktifkan caspase 8 sebagai caspase inisiator. *Hedyotis diffusa* Willd. diketahui dapat menyebabkan penurunan protein Bcl-2. Penurunan protein Bcl-2 sebagai protein anti-apoptosis ini dapat menginduksi adanya apoptosis pada jalur intrinsik. Pada apoptosis jalur intrinsik lainnya, *Hedyotis diffusa* Willd. diketahui dapat mengaktifkan caspase inisiator lainnya yaitu caspase 9, serta mengaktifkan caspase eksekutor yaitu caspase 7.

Pengobatan antikanker dengan obat konvensional banyak menimbulkan adanya resistensi dan toksitas. Merujuk pada hal tersebut, dalam penelitian ini akan dilakukan kombinasi antara obat konvensional yaitu doktorubisin dan obat bahan alam yaitu ekstrak *Hedyotis diffusa* Willd. dengan beberapa dosis yang berbeda yaitu 1/2 IC₅₀, 1/4 IC₅₀, 1/8 IC₅₀, dan 3/8 IC₅₀ kemudian diukur viabilitas sel kanker sehingga dapat diketahui jenis interaksi sitotoksik dan dosis kombinasi yang tepat untuk menghasilkan efek sinergis berdasarkan *Combination Index (CI)*.

3.2 Hipotesis Penelitian

Hipotesis dari penelitian ini antara lain:

1. Ekstrak rumput lidah ular (*Hedyotis diffusa* Willd.) dan doksorubisin mempunyai efek sitotoksik pada kultur sel MCF-7 berdasarkan viabilitas sel.
2. Kombinasi ekstrak rumput lidah ular (*Hedyotis diffusa* Willd.) dan doksorubisin mampu memberikan efek sitotoksik yang sinergis berdasarkan *combination index* (CI) pada kultur sel MCF-7.



BAB 4

METODE PENELITIAN

4.1 Rancangan Penelitian

Penelitian ini merupakan penelitian eksperimental dengan desain eksperimen murni (*true experimental design*) menggunakan *randomized post test only controlled group design* yang dilakukan secara *in vitro* untuk mengetahui jenis interaksi sitotoksik dan dosis kombinasi antara ekstrak rumput lidah ular (*Hedysotis diffusa* Willd.) dengan doksorubisin yang menghasilkan efek sinergis terhadap kultur sel MCF-7. Surat kelaikan etik (**Lampiran 1**).

4.2 Subjek Penelitian

Subjek dalam penelitian ini adalah lini sel kanker payudara MCF-7. Sel MCF-7 diperoleh dari Laboratorium Sentral Biomedik Fakultas Kedokteran Universitas Brawijaya (**Lampiran 2**).

4.3 Variabel Penelitian

Variabel bebas yang digunakan adalah konsentrasi ekstrak rumput lidah ular dan doksorubisin. Variabel terikat yang digunakan adalah nilai *combination index* yang dihitung menggunakan dosis IC₅₀ dari hasil uji MTT pada seri konsentrasi ekstrak yang berbeda yaitu 1/2 IC₅₀, 3/8 IC₅₀, 1/4 IC₅₀, dan 1/8 IC₅₀.

Variabel kontrol yang digunakan adalah sel MCF-7, waktu inkubasi, dan kondisi inkubasi yaitu 37°C ± 5% CO₂.

4.4 Lokasi dan Waktu Penelitian

Penelitian dilaksanakan di beberapa tempat. Proses ekstraksi dilaksanakan di Laboratorium Farmasi Divisi Bahan Alam FKUB. Sedangkan kultur sel dan perlakuan terapi sel akan dilaksanakan di Laboratorium Sentral Biomedik Fakultas Kedokteran Universitas Brawijaya. Penelitian ini akan dilakukan mulai dari Oktober 2017 hingga Mei 2018.

4.5 Bahan dan Alat Penelitian

4.7.5.1 Ekstraksi *Hedyotis diffusa* Willd.

Bahan yang dibutuhkan untuk ekstraksi yaitu herba rumput lidah ular dan etanol 80%. Herba rumput lidah ular didapatkan dari rumput lidah ular yang tumbuh liar dan telah diidentifikasi spesies oleh Balai Materia Medika (BMM) Kota Batu, Jawa Timur (**Lampiran 3**). Alat yang digunakan adalah toples (maserator), rotary evaporator, batang pengaduk, spatel, stirrer, erlenmeyer, cawan porselein, oven, dan timbangan analitik.

4.7.5.2 Kultur Sel

Bahan yang dibutuhkan untuk kultur sel antara lain sel MCF-7, alkohol 70%, Penisilin-Streptomisin-Amfoterisin B (#15240062, Gibco, New York, U.S.A), FBS (#10500064, Gibco, New York, U.S.A), roswell park memorial institute (RPMI) (#31800022, Gibco, New York, U.S.A), Water For Injection (WFI), HEPES (#40820004-5, Bioworld, Dublin, U.S.A), Natrium bikarbonat (#41900068-1, Bioworld, Dublin, U.S.A), Tripsin-EDTA (#25200056, Gibco, New York, U.S.A), DMSO (#102952, Merck, Darmstadt, Germany), cryo tube (Costar, New York, U.S.A), membran filter 0,22 µm (#16534-K, Sartorius, Goettingen, Germany), flask dengan luas permukaan 25 cm² (Costar, New York, U.S.A), conical tube 15 ml dan

50 ml (Falcon, New Jersey, U.S.A), botol Duran® 250 ml, *spuit* 10 ml (One Med, Sidoarjo, Indonesia), pipet volume 2 ml (#4021, Costar, New York, U.S.A), tip biru dan kuning (One Med, Sidoarjo, Indonesia), *handschoen*, spidol, kaca penutup, label, masker, aluminium foil, dan tissue. Alat yang dibutuhkan yaitu spatel, sentrifus (#LMC-3000, Biosan,Riga, Latvia), *accu jet*, inkubator yang dilengkapi tabung gas CO₂ (#CO-170, Innova, San Diego, U.S.A), *laminar air flow* (LAF) (#SafeFast Elite 212-D, Faster, Ferrara, Italy), mikroskop *inverted* (#IX71, Olympus, Tokyo, Japan), mikropipet, pH meter, hemositometer , *counter* serta timbangan analitik.

4.7.5.3 Uji Sitotoksik Tunggal

Bahan yang dibutuhkan untuk uji sitotoksik tunggal adalah DMSO, media kultur (MK), *Water for injection* (WFI), ekstrak *Hedyotis diffusa* Willd., doksorubisin (#0215910105, MP Biomedicals, US) (**Lampiran 4**), 3-[4,5-dimetiltiazol-2-il]-2,5 difenil tetrazolium bromida (MTT) (#10059, Biotium, California, U.S.A), Media RPMI, tripsin-EDTA, media serum free (SF), tabung mikro, dan *conical tube*. Alat yang digunakan adalah mikropipet, *vortex*, timbangan, *spuit* 3 ml, membran filter 0,22 µm, *microplate reader*, *well plate* 96 (SPL, Gyeonggi-do, South Korea), dan LAF.

4.7.5.4 Uji Sitotoksik Kombinasi

Bahan yang dibutuhkan untuk uji sitotoksik tunggal adalah DMSO, MK, WFI, ekstrak *Hedyotis diffusa* Willd., doksorubisin, MTT, Media RPMI, tripsin-EDTA, SF, tabung mikro, dan *conical tube*. Alat yang digunakan adalah mikropipet, *vortex*, timbangan, *spuit* 3 ml, membran filter 0,22 µm, *microplate reader*, *well plate* 96, dan LAF.

4.6 Definisi Operasional

Definisi operasional dalam penelitian ini antara lain:

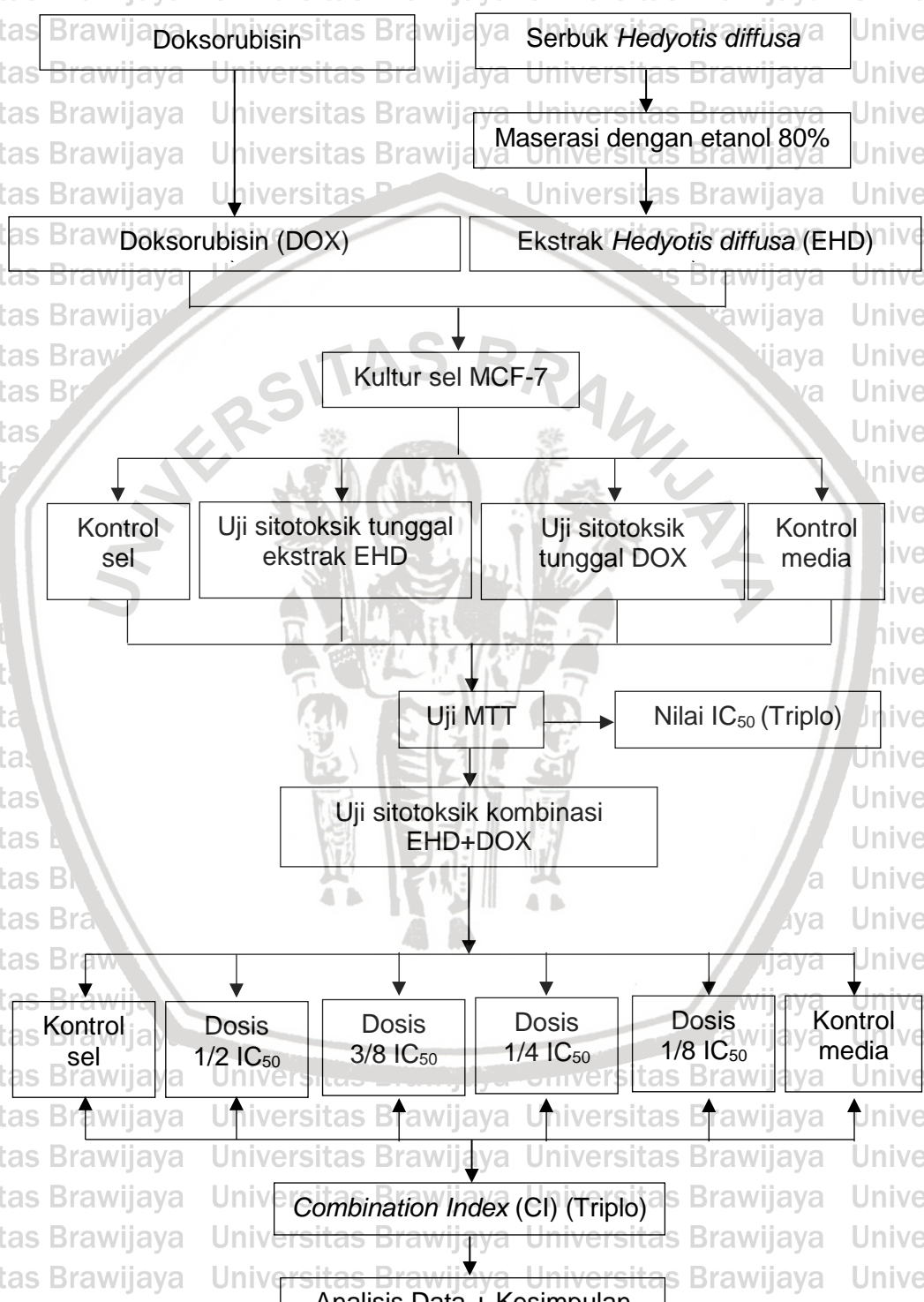
1. Ekstrak *Hedyotis diffusa* Wild. (HD) didapatkan melalui salah satu metode ekstraksi yaitu maserasi menggunakan etanol 80%.
2. Maserasi merupakan salah satu metode ekstraksi simplisia yang menggunakan pelarut kemudian dilakukan pengocokan atau pengadukan serta penyaringan berulang kali dalam suhu ruang.
3. Prinsip metode MTT ialah terjadinya reduksi garam kuning tetrazolium MTT (3-[4,5-dimetiltiazol-2-il]-2,5 difenil tetrazolium bromide) oleh sistem reduktase dalam mitokondria sel-sel yang hidup sehingga membentuk kristal formazan berwarna ungu yang tidak larut air. Penambahan reagen stopper (bersifat detergenik) akan melarutkan kristal formazan ungu yang kemudian absorbansinya akan diukur menggunakan *microplate reader* dengan panjang gelombang 570 nm. Intensitas warna ungu yang terbentuk sebanding dengan jumlah sel hidup. Intensitas warna ungu yang semakin besar, maka jumlah sel yang hidup semakin banyak.
4. IC₅₀ merupakan dosis ekstrak yang didapatkan melalui pengujian MTT yang dapat menghambat perkembangan atau proliferasi sel MCF-7 sebesar 50%.
5. Viabilitas sel merupakan persentase sel yang hidup.

$$\% \text{ viabilitas sel} = \frac{\bar{x}_{\text{absorbansi kontrol}} - \bar{x}_{\text{absorbansi sampel}}}{\bar{x}_{\text{absorbansi kontrol}}} \times 100\%$$

6. *Combination index* (CI) merupakan indeks yang menunjukkan interaksi yang terjadi dalam beberapa kombinasi.

4.7 Prosedur Penelitian

4.7.1 Skema Prosedur Penelitian



Gambar 4.1 Gambar Skema Prosedur Penelitian

4.7.2 Ekstraksi *Hedyotis diffusa* Willd.

Ekstraksi *Hedyotis diffusa* ini dilakukan dengan metode maserasi. Tahap-

tahap yang diperlukan adalah sebagai berikut:

- a. Ditimbang serbuk kering rumput lidah ular sebanyak 160 gram.
- b. Direndam dalam etanol 80% dengan perbandingan 1:10 (1,6 L etanol) untuk 3 kali maserasi.
- c. Direndam dalam etanol 800 ml selama 30 menit disertai pengadukan menggunakan stirrer dengan kecepatan 500 rpm.
- d. Didiamkan selama 24 jam dalam toples (maserator) yang tertutup rapat.
- e. Disaring untuk memisahkan maserat menggunakan vakum, corong Buchner dan kertas saring.
- f. Maserat ditampung dalam erlemeyer.
- g. Residu di re-merasasi sebanyak 2x menggunakan @ 400 ml etanol 80%.
- h. Semua maserat ditampung, dicampur dan dipekatkan dengan rotary evaporator pada suhu 50°C dengan kecepatan putar sebesar 30 rpm.
- i. Cawan porselein kosong ditimbang sebelum digunakan sebagai wadah ekstrak.
- j. Ekstrak pekat yang dihasilkan dikeringkan dalam oven pada suhu 45°C hingga terbentuk pasta.
- k. Ditimbang kembali ekstrak setelah dikeringkan.
- l. Dihitung % rendemen menggunakan rumus dibawah ini.

$$\% \text{ rendemen} = \frac{(\text{berat ekstrak} - \text{berat cawan kosong})}{\text{berat simplisia}} \times 100\%$$

4.7.3 Kultur Sel MCF-7

4.7.3.1 Preparasi Media Kultur *Roswell Park Memorial Institute (RPMI)*

Komposisi media yang digunakan yaitu:

- a. RPMI 2,6 gram
- b. Natrium Bikarbonat (NaHCO_3) 0,5 gram
- c. HEPES 0,55 gram
- d. *Water for Injection (WFI)* ad 250 ml

Tahapan yang dilakukan dalam preparasi media RPMI adalah sebagai berikut:

- a. Ditimbang 2,6 gram serbuk RPMI menggunakan neraca analitik.
- b. Dimasukkan serbuk RPMI kedalam botol Duran® 250 ml.
- c. Ditambahkan WFI untuk melarutkan serbuk RPMI dan dikocok hingga homogen.
- d. Ditimbang 0,5 gram serbuk NaHCO_3 menggunakan neraca analitik.
- e. Ditambahkan serbuk NaHCO_3 ke dalam botol Duran® (c) dan dikocok ad homogen.
- f. Ditimbang 0,55 gram HEPES menggunakan neraca analitik.
- g. Ditambahkan HEPES ke dalam botol Duran® (e) dan dikocok ad homogen.
- h. Ditambahkan WFI ad 250 ml kedalam botol Duran® (g) dan dikocok ad homogen.
- i. Diukur pH RPMI menggunakan pH meter.
- j. Diadjust pH dengan menambahkan HCl 1 M dengan diaduk menggunakan *magnetic stirrer* hingga pH berada dalam rentang 7,0 - 7,4.
- k. Difilter media RPMI menggunakan *sput* dan membran filter 0,22 μm dalam *laminar air-flow (LAF)*.

i. Dimasukkan media RPMI ke dalam botol Duran® 250 ml steril.

m. Botol Duran® 250 ml dibungkus menggunakan aluminium foil.

n. Diberi label pada botol berupa nama media, tanggal pembuatan, dan nama peneliti.

o. Disimpan media RPMI dalam lemari pendingin suhu 4°C.

4.7.3.2 Preparasi Media Kultur Lengkap (MK)

Komposisi media yang digunakan yaitu:

a. 1% Penisilin-Streptomisin-Amfoterisin B 0,5 ml

b. 10% FBS 5 ml

c. Media RPMI ad 50 ml

Tahapan yang dilakukan dalam preparasi media adalah sebagai berikut:

a. Diambil media RPMI dari dalam lemari pendingin suhu 4°C.

b. Diambil Penisilin-Streptomisin-Amfoterisin B, dan FBS dari dalam freezer -20°C.

c. Dikondisikan Penisilin-Streptomisin-Amfoterisin B, FBS, dan media RPMI pada suhu ruangan sebelum digunakan.

d. Disiapkan *conical tube* 50 ml, *sput* 10 ml, membran filter 0,22 µm, mikropipet, dan tip biru.

e. Disemprot (c) dan (d) menggunakan alkohol 70% kemudian dimasukkan ke dalam LAF.

f. Diambil 0,5 ml Penisilin-Streptomisin-Amfoterisin B menggunakan mikropipet.

g. Dimasukkan (f) ke dalam *conical tube* 50 ml.

h. Diambil 5 ml FBS menggunakan *sput* 10 ml.

- i. Difilter (h) menggunakan membran filter $0,22 \mu\text{m}$ dan dimasukkan ke dalam *conical tube* 50 ml.
- j. Diambil media RPMI menggunakan *spuit* 10 ml.
- k. Difilter (j) menggunakan membran filter $0,22 \mu\text{m}$ ad 50 ml dan dimasukkan ke dalam *conical tube* 50 ml (i).
- l. Dikocok (k) ad homogen.
- m. Diberi label pada *conical tube* berupa nama media, tanggal pembuatan, dan nama peneliti.
- n. Disimpan MK dalam lemari pendingin suhu 4°C .

4.7.3.3 Preparasi Media Serum Free (SF)

Komposisi media yang digunakan yaitu:

- a. 1% Penisilin-Streptomisin-Amfoterisin B 0,5 ml
- b. Media RPMI ad 50 ml

Tahapan yang dilakukan dalam preparasi media adalah sebagai berikut:

- a. Diambil media RPMI dari dalam lemari pendingin suhu 4°C .
- b. Diambil Penisilin-Streptomisin-Amfoterisin B dari freezer -20°C .
- c. Dikondisikan Penisilin-Streptomisin-Amfoterisin B, dan media RPMI pada suhu ruangan sebelum digunakan.
- d. Disiapkan *conical tube* 50 ml, *spuit* 10 ml, membran filter $0,22 \mu\text{m}$, mikropipet, dan tip biru.
- e. Disemprot (c) dan (d) menggunakan alkohol 70% kemudian dimasukkan ke dalam LAF.
- f. Diambil 0,5 ml Penisilin-Streptomisin-Amfoterisin B menggunakan mikropipet dan dimasukkan ke dalam *conical tube* 50 ml.
- g. Diambil media RPMI menggunakan *spuit* 10 ml.

- h. Difilter (g) menggunakan membran filter $0,22 \mu\text{m}$ ad 50 ml dan dimasukkan ke dalam *conical tube* 50 ml (f).
- i. Dikocok (h) ad homogen.
- j. Diberi label pada *conical tube* berupa nama media, tanggal pembuatan, dan nama peneliti.
- m. Disimpan SF dalam lemari pendingin suhu 4°C .

4.7.3.4 Preparasi Media Cryo

Komposisi media yang digunakan yaitu:

a. 10% DMSO 1 ml

b. MK ad 10 ml

Tahapan yang dilakukan dalam preparasi media adalah sebagai berikut:

- a. Diambil MK dari dalam lemari pendingin suhu 4°C .
- b. Dikondisikan MK pada suhu ruangan sebelum digunakan.
- c. Disiapkan DMSO, *sput* 10 ml, membran filter $0,22 \mu\text{m}$, mikropipet, tip biru, dan *conical tube* 15 ml.
- d. Disemprot (b) dan (c) menggunakan alcohol 70% kemudian dimasukkan ke dalam LAF.
- e. Diambil 1 ml DMSO menggunakan mikropipet.
- f. Dimasukkan DMSO ke dalam *conical tube* 15 ml.
- g. Diambil MK ad 10 ml menggunakan *sput* 10 ml.
- h. Difilter (g) menggunakan membran filter $0,22 \mu\text{m}$ dan dimasukkan ke dalam *conical tube* 50 ml.
- i. Dikocok (h) ad homogen.
- j. Diberi label pada *conical tube* berupa nama media, tanggal pembuatan, dan nama peneliti.

k. Disimpan media *cryo* dalam lemari pendingin suhu 4°C.

4.7.3.5 Penumbuhan Sel (*Cell Thawing*)

Prosedur penumbuhan sel MCF-7 adalah sebagai berikut:

- a. Diambil MK dari dalam lemari pendingin 4°C kemudian dikondisikan pada suhu ruangan sebelum digunakan.
- b. Diambil ampul (*cryo tube*) berisi sel MCF-7 dari dalam *Mr. Frosty* pada *freezer* -80°C.
- c. Dicairkan sel dalam ampul dengan cara digosok menggunakan tangan.
- d. Disiapkan *sput* 10 ml, membran filter 0,22 µm, mikropipet, tip kuning, dan *flask*.
- e. Disemprot (a), (b), (c), dan (d) menggunakan alkohol 70% kemudian dimasukkan ke dalam LAF.
- f. Diambil 8 ml MK menggunakan *sput* 10 ml.
- g. Difilter MK menggunakan membran filter 0,22 µm dan dimasukkan ke dalam *flask*.
- h. Dihitung volume sel yang dibutuhkan untuk penumbuhan 200.000 sel.
- i. Diambil sel MCF-7 menggunakan mikropipet dan dimasukkan ke dalam *flask* (g).
- j. Digoyang-goyangkan *flask* ad homogen.
- k. Diamati kondisi sel menggunakan mikroskop *inverted* dengan perbesaran 100x.
- l. Diberi label pada *flask* berupa nama sel, tanggal penumbuhan, jumlah pasase, dan nama peneliti.

- m. Disemprot *flask* menggunakan alkohol 70% kemudian diinkubasi dalam inkubator $37^{\circ}\text{C} \pm 5\%\text{CO}_2$.

4.7.3.6 Penggantian Media

Prosedur penggantian media kultur adalah sebagai berikut:

- a. Diambil *flask* berisi sel dalam inkubator $37^{\circ}\text{C} \pm 5\%\text{CO}_2$ kemudian diamati kondisi sel menggunakan mikroskop *inverted*.
- b. Diambil SF dan MK dari dalam lemari pendingin 4°C dan dikondisikan pada suhu ruang.
- c. Disiapkan *sput* 10 ml, membran filter $0,22 \mu\text{m}$, dan wadah pembuangan.
- d. Disemprot (a), (b), dan (c) menggunakan alkohol 70% kemudian dimasukkan ke dalam LAF.
- e. Dibuang media lama dalam *flask* kedalam wadah pembuangan.
- f. Diambil 2 ml SF menggunakan *sput* 10 ml.
- g. Difilter SF menggunakan membran filter $0,22 \mu\text{m}$ dan dimasukkan ke dalam *flask* secara perlahan pada leher *flask*.
- h. Digoyang-goyangkan *flask* ke kanan dan ke kiri untuk membersihkan sel.
- i. Dibuang SF dalam *flask* ke dalam wadah pembuangan.
- j. Diulangi prosedur (f-i) kembali.
- k. Diambil 5 ml MK menggunakan *sput* 10 ml
- l. Difilter MK menggunakan membran filter $0,22 \mu\text{m}$ dan dimasukkan ke dalam *flask* secara perlahan pada leher *flask*.
- m. Dihomogenkan MK kemudian diamati kondisi dan jumlah sel secara kualitatif menggunakan mikroskop *inverted*.
- n. *Flask* disemprot menggunakan alkohol 70% kemudian diinkubasi dalam inkubator $37^{\circ}\text{C} \pm 5\%\text{CO}_2$.

4.7.3.7 Pemanenan Sel

Prosedur pemanenan sel adalah sebagai berikut:

- a. Diambil *flask* berisi sel dalam inkubator $37^{\circ}\text{C} \pm 5\% \text{CO}_2$ kemudian diamati kondisi sel menggunakan mikroskop *inverted* (pemanenan sel dilakukan apabila sel konfluen 80%).
- b. Diambil SF, MK dari dalam lemari pendingin 4°C dan dikondisikan pada suhu ruang.
- c. Diambil trypsin-EDTA dari dalam freezer -20°C dan dikondisikan pada suhu ruang.
- d. Disiapkan *sput* 10 ml, membran filter 0,22 μm , *conical tube* 15 ml, pipet ukur 2 ml, *accu jet*, dan wadah pembuangan.
- e. Disemprot (a), (b), (c), dan (d) menggunakan alkohol 70% kemudian dimasukkan ke dalam LAF.
- f. Dibuang media lama dalam *flask* kedalam wadah pembuangan.
- g. Diambil 2 ml SF menggunakan *sput* 10 ml.
- h. Difilter SF menggunakan membran filter 0,22 μm dan dimasukkan ke dalam *flask* secara perlahan pada leher *flask*.
- i. Digoyang-goyangkan *flask* ke kanan dan ke kiri untuk membersihkan sel.
- j. Dibuang SF dalam *flask* ke dalam wadah pembuangan.
- f. Diulangi prosedur (g-j) kembali.
- g. Diambil 2 ml trypsin-EDTA 1x (trypsin 0,25%) menggunakan *sput* 10 ml.
- h. Difilter trypsin-EDTA menggunakan membran filter 0,22 μm dan dimasukkan ke dalam *flask* secara perlahan pada leher *flask*.
- i. Diinkubasi *flask* (h) dalam inkubator $37^{\circ}\text{C} \pm 5\% \text{CO}_2$ selama 5 menit.
- j. Diamati kondisi sel menggunakan mikroskop *inverted*.

- k. Diresuspensi sel dengan cara *pipetting* menggunakan pipet ukur dan *accu jet* hingga sel terlepas satu sama lain.
- l. Diambil 5 ml MK menggunakan *spuit* 10 ml.
- m. Difilter MK menggunakan membran filter 0,22 μm dan dimasukkan ke dalam *conical tube* 15 ml.
- n. Dimasukkan sel kedalam *conical tube* 15 ml (m) dan dihomogenkan.
- o. Disentrifugasi sel (n) dengan kecepatan 800 rpm selama 8 menit.
- p. Dibuang supernatan kedalam wadah pembuangan.
- q. Diambil MK ad 1 ml menggunakan *spuit* 10 ml dan dimasukkan kedalam *conical tube* (p) dengan difilter menggunakan membran filter 0,22 μm .
- r. Diresponsi pellet sel dengan cara *pipetting* menggunakan pipet ukur dan *accu jet* hingga homogen.

4.7.3.8 Perhitungan Sel

Prosedur perhitungan sel adalah sebagai berikut:

- a. Dilakukan pemanenan sel sesuai protokol pemanenan sel.
- b. Disiapkan mikropipet, tip kuning, dan tabung mikro.
- c. Disemprot (b) menggunakan alkohol 70% kemudian dimasukkan ke dalam LAF.
- d. Diambil 10 μl panenan sel menggunakan mikropipet dan dimasukkan ke dalam tabung mikro.
- e. Diambil 10 μl *tripan-blue* menggunakan mikropipet dan ditambahkan ke dalam tabung mikro (d) kemudian dihomogenkan.
- f. Diambil 10 μl (e) menggunakan mikropipet dan dipipetkan ke hemositometer.

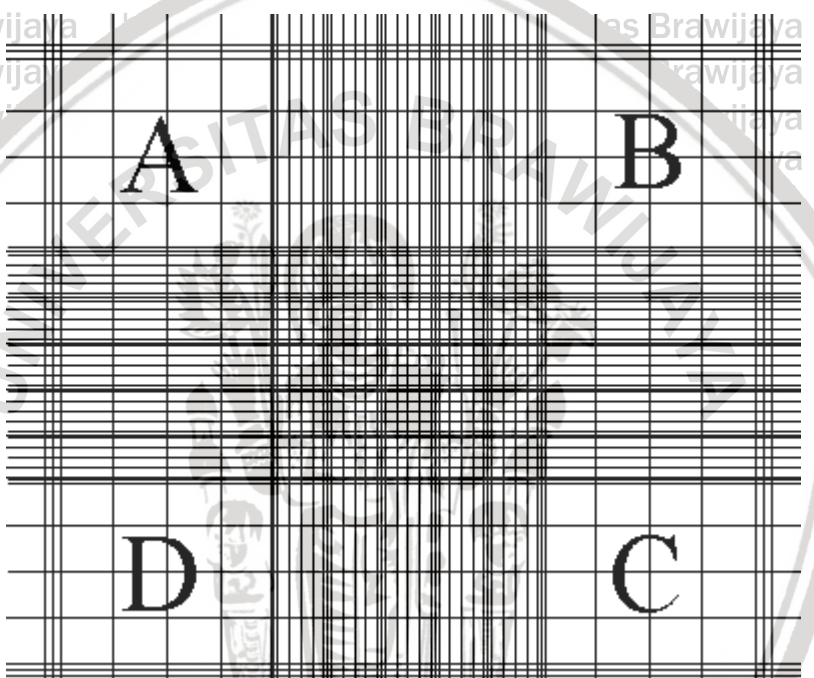
g. Dihitung jumlah sel menggunakan mikroskop *inverted* dan *counter*. Sel yang gelap (sel mati) dan sel yang berada diluar batas sebelah atas dan

kanan tidak dihitung. Sel dibatas kiri dan bawah dihitung.

h. Dihitung jumlah sel dalam 4 kamar hemositometer menggunakan rumus

dibawah ini. Gambar hemositometer dapat dilihat pada Gambar 4.2.

$$\text{Jumlah sel terhitung/ml} = \frac{\text{Jumlah sel kamar A+B+C+D}}{4} \times 10^4 \times 2$$



Gambar 4.2 Hemositometer

4.7.3.9 Subkultur Sel

Prosedur subkultur sel adalah sebagai berikut:

a. Dilakukan pemanenan sel sesuai protokol pemanenan sel.

b. Diambil MK dari lemari pendingin 4°C dan dikondisikan pada suhu ruang.

c. Disiapkan *spuit* 10 ml, membran filter 0,22 µm, *flask*, mikropipet, dan tip kuning.

d. Disemprot (b) dan (c) menggunakan alkohol 70% kemudian dimasukkan ke dalam LAF.

e. Dihitung volume sel yang dibutuhkan untuk subkultur 200.000 sel.

$$\text{Volume yang dibutuhkan} = \frac{200.000}{\text{jumlah sel terhitung/ml}}$$

f. Diambil 5 ml MK menggunakan *spuit* 10 ml.

g. Difiltrasi MK menggunakan membran filter 0,22 μm dan dimasukkan ke dalam *flask*.

h. Diambil sel menggunakan mikropipet dan dimasukkan ke dalam *flask* (g).

i. Dihomogenkan sel dan diamati menggunakan mikroskop *inverted*.

j. Diberi label *flask* berupa nama sel, jumlah pasase, tanggal subkultur, dan nama peneliti. *Flask* dapat digunakan maksimal 3x pemakaian.

k. Disemprot alkohol 70% *flask* dan diinkubasi dalam inkubator $37^\circ\text{C} \pm 5\%$ CO_2 .

4.7.3.10 Cryopreservation

Prosedur *cryopreservation* adalah sebagai berikut:

a. Dilakukan pemanenan sel sesuai protokol pemanenan sel.

b. Diambil media *cryo* dari lemari pendingin 4°C dan dikondisikan pada suhu ruang.

c. Disiapkan *cryo tube*, *spuit* 10 ml, membran filter 0,22 μm , pipet ukur 2 ml, *accu jet*, *conical tube* 15 ml, dan wadah pembuangan.

d. Disemprot (b) dan (c) menggunakan alkohol 70% kemudian dimasukkan ke dalam LAF.

e. Dilakukan pemanenan sel sesuai protokol pemanenan sel.

f. Disentrifugasi sel dengan kecepatan 800 rpm selama 8 menit.

g. Dibuang supernatan (f) ke dalam wadah pembuangan.

h. Diambil 1,5 ml media *cryo* menggunakan *spuit* 10 ml.

- i. Difilter media *cryo* menggunakan membran filter 0,22 µm dan dimasukkan ke dalam *conical tube* 15 ml (g).
- j. Diresuspensiakan sel dengan cara *pipetting* menggunakan pipet ukur dan *accu jet* hingga homogen.
- k. Dituang sel kedalam *cryo tube*.
 - I. Diberi label *cryo tube* berupa nama sel, jumlah pasase, *cryopreservation*, nama peneliti, dan jumlah sel.
 - m. Disimpan *cryo tube* ke dalam *Mr. Frosty* pada suhu -80°C.

4.7.4 Uji Sitotoksik Tunggal

4.7.4.1 Preparasi Ekstrak *Hedyotis diffusa* Willd. (EHD)

Prosedur preparasi ekstrak *Hedyotis diffusa* Willd. (EHD) adalah sebagai berikut:

- a. Dibuat 7 seri konsentrasi ekstrak *Hedyotis diffusa* Willd. (EHD) dengan rumus (**Lampiran 5**):
- $$f = \sqrt[n-1]{(Dt/Dr)}$$
- Keterangan:
- n = banyaknya seri konsentrasi
 - Dt = konsentrasi tertinggi
 - Dr = konsentrasi terendah
- b. Dimimbang 5 mg ekstrak dalam tabung mikro menggunakan neraca analitik.
 - c. Dilarutkan ekstrak menggunakan DMSO 20x (100 µl) dengan di *vortex*.
 - d. Ditambahkan MK ad 1 ml dalam tabung mikro (c) kemudian di *vortex* ad larut.
 - e. Dilakukan pengenceran pada konsentrasi tertinggi dalam *conical tube* 15 ml.

f. Difilter ekstrak (e) menggunakan membran filter 0,22 µm dalam LAF dan dimasukkan ke dalam *conical tube* 15 ml steril.

g. Dilakukan pengenceran 6 seri konsentrasi lainnya dalam *conical tube* 15 ml steril.

4.7.4.2 Preparasi Doktorubisin (DOX)

Prosedur preparasi doksorubisin (DOX) adalah sebagai berikut:

a. Dibuat 7 seri konsentrasi doksorubisin dengan rumus (**Lampiran 6**):

$$f = \sqrt[n-1]{(Dt/Dr)}$$

Keterangan:

n = banyaknya seri konsentrasi

Dt = konsentrasi tertinggi

Dr = konsentrasi terendah

b. Ditimbang 0,1 mg serbuk doksorubisin dalam *conical tube* 15 ml menggunakan neraca analitik.

c. Dilarutkan doksorubisin menggunakan WFI ad 10 ml.

d. Dilakukan pengenceran larutan sub stok doksorubisin 5000 dan 10000 Nm menggunakan WFI.

e. Dilakukan pengenceran pada konsentrasi tertinggi dalam *conical tube* 15 ml.

f. Difilter doksorubisin (e) menggunakan membran filter 0,22 µm dalam LAF dan dimasukkan ke dalam *conical tube* 15 ml steril.

g. dilakukan pengenceran 6 seri konsentrasi lainnya dalam *conical tube* 15 ml steril.

4.7.4.3 Preparasi MTT

Prosedur preparasi MTT adalah sebagai berikut:

a. Ditimbang 50 mg serbuk MTT menggunakan neraca analitik.

- b. Disiapkan PBS, *conical tube* 15 ml yang terbungkus aluminium foil, *spuit* 10 ml, membran filter 0,22 µm, mikropipet, dan tip biru.
- c. Disemprot (b) menggunakan alkohol 70% kemudian dimasukkan ke dalam LAF.
- d. Dimasukkan serbuk MTT ke dalam *conical tube* 15 ml yang terbungkus aluminium foil.
- e. Diambil PBS ad 10 ml menggunakan *spuit* 10 ml.
- f. Difilter PBS menggunakan membran filter 0,22 µm dan dimasukkan *conical tube* (d) sedikit demi sedikit dengan di vortex.
- g. Diberi label pada *conical tube* berupa larutan stok MTT, tanggal pembuatan, dan nama peneliti.
- h. Diambil 1 ml larutan stok MTT menggunakan mikropipet dan dimasukkan *conical tube* 15 ml.
- i. Diambil 9 ml media RPMI menggunakan *spuit* 10 ml.
- j. Difilter media RPMI menggunakan membran filter 0,22 µm dan dimasukkan *conical tube* (h).
- k. Dihomogenkan larutan MTT.

4.7.4.4 Plating Sel

Prosedur *plating* sel adalah sebagai berikut:

- a. Dilakukan perhitungan sel sesuai dengan protokol perhitungan sel.
- b. Dihitung volume sel yang dibutuhkan untuk *plating* sel 8000 sel @sumuran.

$$8000 \text{ sel} \times 60 \text{ sumuran} = 480.000 \text{ sel}$$

$$\text{Volume yang dibutuhkan} = \frac{480.000}{\text{jumlah sel terhitung/ml}}$$

- c. Dikeluarkan MK dari lemari pendingin 4°C kemudian dikondisikan pada suhu ruangan sebelum digunakan.
- d. Disiapkan *conical tube* 15 ml, *sput* 10 ml, membran filter $0,22 \mu\text{m}$, mikropipet, tip kuning, dan *well plate* 96.
- e. Disemprot (c) dan (d) menggunakan alkohol 70% dan dimasukkan ke dalam LAF.
- f. Dimasukkan sel ke dalam *conical tube* 15 ml.
- g. Diambil MK ad 10 ml menggunakan *sput* 10 ml.
- h. Difilter MK menggunakan membran filter $0,22 \mu\text{m}$ dan dimasukkan *conical tube* (f).
- i. Dihomogenkan sel.
- j. Diambil 100 μl sel menggunakan mikropipet dan dimasukkan ke dalam @ sumuran *well plate*.
- k. Diamati *well plate* menggunakan mikroskop *inverted*.
- l. Disemprot *well plate* menggunakan alkohol 70% kemudian diinkubasi dalam inkubator $37^{\circ}\text{C} \pm 5\%\text{CO}_2$.

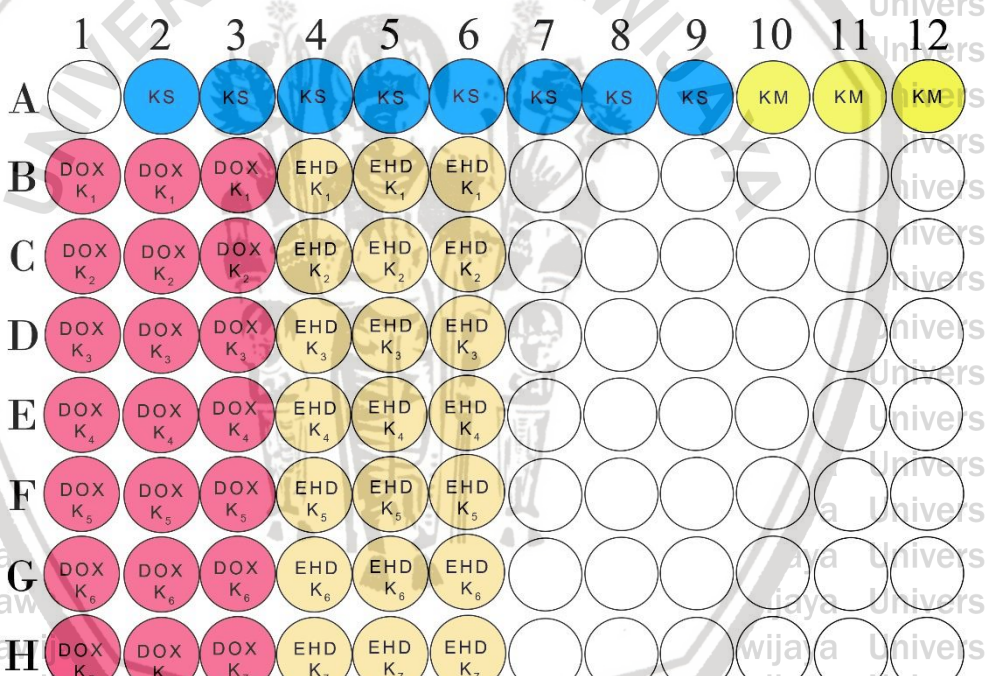
4.7.4.5 Pemaparan Ekstrak *Hedyotis diffusa* Willd. (EHD) dan Doktorubisin

(DOX)

Prosedur pemaparan ekstrak *Hedyotis diffusa* Willd. (EHD) dan doktorubisin (DOX) adalah sebagai berikut:

- a. Diambil *well plate* dari inkubator $37^{\circ}\text{C} \pm 5\%\text{CO}_2$ kemudian diamati menggunakan mikroskop *inverted*.
- b. Diambil MK dari lemari pendingin 4°C kemudian dikondisikan pada suhu ruangan sebelum digunakan.

- c. Disiapkan ekstrak *Hedyotis diffusa* Willd. (EHD), doksorubisin (DOX), *sput* 10 ml, wadah pembuangan, mikropipet, dan tip kuning.
- d. Disemprot (a), (b), dan (c) menggunakan alkohol 70% kemudian dimasukkan ke dalam LAF.
- e. Diambil media lama dalam sumuran *well plate* menggunakan *sput* 10 ml kemudian dibuang.
- f. Diambil 100 μ l EHD, DOX, dan MK menggunakan mikropipet dan dimasukkan ke dalam @sumuran *well plate*. Desain *well plate* dapat dilihat pada Gambar 4.3.



Gambar 4.3 Desain Well Plate Uji Sitoloksik Tunggal.

Keterangan:

- Dimasukkan @100 μ l MK ke dalam sumuran yang berisi sel dengan replikasi 3 kali (triplo) sebagai kontrol sel (KS).
- Dimasukkan @100 μ l MK ke dalam sumuran yang tidak berisi sel dengan replikasi 3 kali (triplo) sebagai kontrol media (KM).
- Dimasukkan @100 μ l seri konsentrasi doksorubisin (DOX) dan ekstrak *Hedyotis diffusa* Willd. (EHD) ke dalam sumuran yang berisi sel dengan replikasi 3 kali (triplo).

- g. Diamati *well plate* menggunakan mikroskop inverted.

h. Disemprot *well plate* menggunakan alkohol 70% kemudian diinkubasi selama 24 jam dalam inkubator $37^{\circ}\text{C} \pm 5\%\text{CO}_2$.

4.7.4.6 Uji MTT

Prosedur uji MTT adalah sebagai berikut:

- a. Diambil *well plate* dari inkubator $37^{\circ}\text{C} \pm 5\%\text{CO}_2$ dan diamati menggunakan mikroskop *inverted*.
- b. Disiapkan larutan MTT, *spuit* 10 ml, wadah pembuangan, mikropipet, dan tip kuning.
- c. Disemprot (a) dan (b) menggunakan alkohol 70% kemudian dimasukkan ke dalam LAF.
- d. Diambil larutan ekstrak *Hedyotis diffusa* Willd. (EHD), doksorubisin (DOX), dan MK dari sumuran *well plate* menggunakan *spuit* 10 ml kemudian dibuang.
- e. Diambil 100 μl larutan MTT menggunakan mikropipet dan dimasukkan kedalam sumuran *well plate*.
- f. Disemprot *well plate* menggunakan alkohol 70% kemudian diinkubasi selama 4 jam dalam inkubator $37^{\circ}\text{C} \pm 5\%\text{CO}_2$.
- g. Dikeluarkan *well plate* dari inkubator $37^{\circ}\text{C} \pm 5\%\text{CO}_2$ kemudian diamati menggunakan mikroskop *inverted*.
- h. Disiapkan DMSO, *spuit* 10 ml, wadah pembuangan, mikropipet, dan tip kuning.
- i. Disemprot (g) dan (h) menggunakan alkohol 70% kemudian dimasukkan ke dalam LAF.
- j. Diambil larutan MTT dalam sumuran *well plate* menggunakan *spuit* 10 ml kemudian dibuang.

- k. Dambil $100\mu\text{l}$ DMSO menggunakan mikropipet dan dimasukkan kedalam sumuran *well plate*.
- l. Disemprot *well plate* menggunakan alkohol 70% kemudian diinkubasi selama 30 menit dalam inkubator $37^\circ\text{C} \pm 5\%\text{CO}_2$.
- m. Dibaca absorbansi menggunakan *microplate reader* dengan gelombang 570 nm.
- n. Dihitung persentase viabilitas sel menggunakan rumus:
- $$\% \text{ viabilitas sel} = \frac{\bar{x} \text{ absorbansi kontrol} - \bar{x} \text{ absorbansi sampel}}{\bar{x} \text{ absorbansi kontrol}} \times 100\%$$
- o. Dihitung regresi linear (konsentrasi, viabilitas sel).
- p. Dihitung nilai IC_{50} dari *Hedyotis diffusa* Willd. dan doksorubisin.

4.7.5 Uji Sitotoksik Kombinasi

4.7.5.1 Preparasi Ekstrak *Hedyotis diffusa* Willd. (EHD)

Prosedur preparasi ekstrak *Hedyotis diffusa* Willd. (EHD) adalah sebagai berikut:

- a. Dilakukan perhitungan dosis ekstrak *Hedyotis diffusa* Willd. (EHD) yaitu sebesar $1/2 \text{ IC}_{50}$, $1/4 \text{ IC}_{50}$, $1/8 \text{ IC}_{50}$, dan $3/8 \text{ IC}_{50}$.
- b. Ditimbang 50 mg ekstrak dalam tabung mikro menggunakan neraca analitik.
- c. Dilarutkan ekstrak menggunakan DMSO 20x (1 ml) dengan di *vortex*.
- d. Dilakukan perhitungan pengenceran ekstrak dengan volume @sumuran *well plate* 50 μl .
- $50\mu\text{l} \times 24 \text{ sumuran} = 1200 \mu\text{l}$.
- e. Dilakukan pengenceran pada dosis tertinggi dalam *conical tube* 15 ml.
- f. Difilter ekstrak (e) menggunakan membran filter 0,22 μm dalam LAF dan dimasukkan ke dalam *conical tube* 15 ml steril.

g. Dilakukan pengenceran 3 dosis lainnya dalam *conical tube* 15 ml steril.

4.7.5.2 Preparasi Doksorubisin (DOX)

Prosedur preparasi doksorubisin (DOX) adalah sebagai berikut:

a. Dilakukan perhitungan dosis doksorubisin (DOX) yaitu sebesar $1/2 IC_{50}$, $1/4$

IC_{50} , $1/8 IC_{50}$, dan $3/8 IC_{50}$.

b. Ditimbang 0,1 mg serbuk doksorubisin dalam *conical tube* 15 ml menggunakan neraca analitik.

c. Dilarutkan doksorubisin menggunakan WFI ad 10 ml.

d. Dilakukan pengenceran larutan sub stok doksorubisin 5000 dan 10000 nM menggunakan WFI.

e. Dilakukan perhitungan pengenceran ekstrak dengan volume @sumuran well plate 50 μ l.

$50\mu\text{l} \times 24 \text{ sumuran} = 1200 \mu\text{l}$

f. Dilakukan pengenceran pada dosis tertinggi dalam *conical tube* 15 ml.

g. Difilter doksorubisin (f) menggunakan membran filter 0,22 μm dalam LAF dan dimasukkan ke dalam *conical tube* 15 ml steril.

h. Dilakukan pengenceran 3 dosis lainnya dalam *conical tube* 15 ml steril.

4.7.5.3 Platting Sel

Prosedur *platting* sel adalah sebagai berikut:

a. Dilakukan perhitungan sel sesuai dengan protokol perhitungan sel.

b. Dihitung volume sel yang dibutuhkan untuk *platting* sel 8000 sel @sumuran.

$8000 \text{ sel} \times 100 \text{ sumuran} = 800.000 \text{ sel}$

$$\text{volume yang dibutuhkan} = \frac{800.000}{\text{jumlah sel terhitung/ml}}$$

- c. Dikeluarkan MK dari lemari pendingin 4°C kemudian dikondisikan pada suhu ruangan sebelum digunakan.
- d. Disiapkan *conical tube* 15 ml, *sput* 10 ml, membran filter $0,22 \mu\text{m}$, mikropipet, tip kuning, dan *well plate* 96.
- e. Disemprot (c) dan (d) menggunakan alkohol 70% dan dimasukkan ke dalam LAF.
- f. Dimasukkan sel ke dalam *conical tube* 15 ml.
- g. Diambil MK ad 10 ml menggunakan *sput* 10 ml.
- h. Difilter MK menggunakan membran filter $0,22 \mu\text{m}$ dan dimasukkan *conical tube* (f).
- i. Dihomogenkan sel.
- j. Diambil 100 μl sel menggunakan mikropipet dan dimasukkan ke dalam @ sumuran *well plate*.
- k. Diamati *well plate* menggunakan mikroskop *inverted*.
- l. Disemprot *well plate* menggunakan alkohol 70% kemudian diinkubasi dalam inkubator $37^{\circ}\text{C} \pm 5\%\text{CO}_2$.

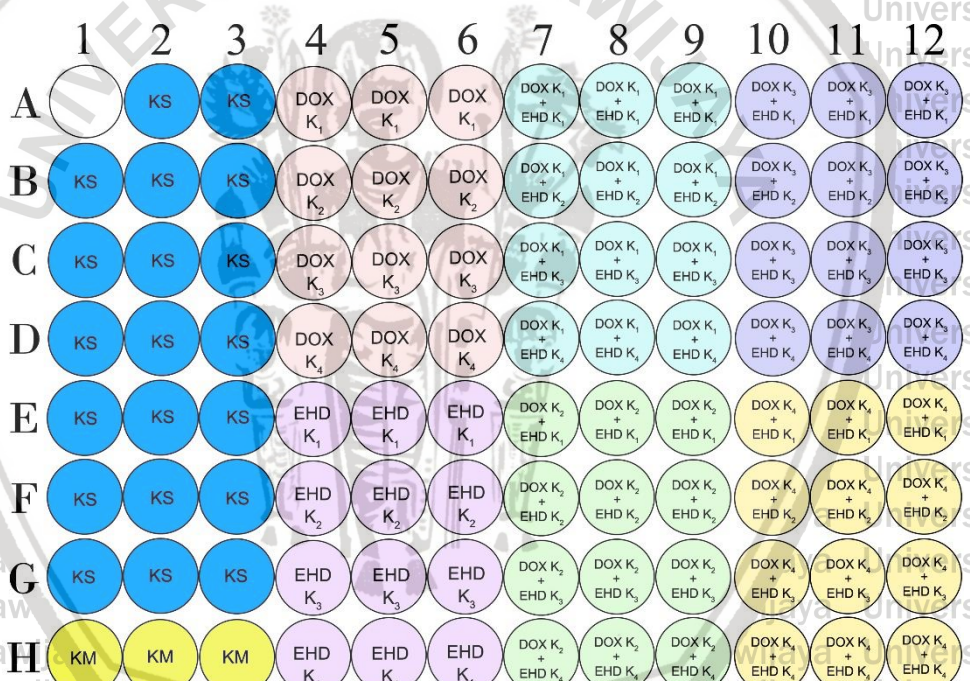
4.7.5.4 Pemaparan Kombinasi Ekstrak *Hedyotis diffusa* Willd. (EHD) dan

Doksorubisin (DOX)

Prosedur pemaparan ekstrak *Hedyotis diffusa* Willd. (EHD) dan doksorubisin (DOX) adalah sebagai berikut:

- a. Diambil *well plate* dari inkubator $37^{\circ}\text{C} \pm 5\%\text{CO}_2$ kemudian diamati menggunakan mikroskop *inverted*.
- b. Diambil MK dari lemari pendingin 4°C kemudian dikondisikan pada suhu ruangan sebelum digunakan.

- c. Disiapkan ekstrak *Hedyotis diffusa* Willd. (EHD), doksorubisin (DOX), *sput* 10 ml, wadah pembuangan, mikropipet, dan tip kuning.
- d. Disemprot (a), (b), dan (c) menggunakan alkohol 70% kemudian dimasukkan ke dalam LAF.
- e. Diambil media lama dalam sumuran *well plate* menggunakan *sput* 10 ml kemudian dibuang.
- f. Diambil 50 μ l EHD, DOX, dan MK menggunakan mikropipet dan dimasukkan ke dalam @sumuran *well plate*. Desain *well plate* dapat dilihat pada Gambar 4.4.



Gambar 4.4 Desain Well Plate Uji Sitotoksik Kombinasi.

Keterangan:

- Dimasukkan @100 μ l MK ke dalam sumuran yang berisi sel dengan replikasi 3 kali (triplo) sebagai kontrol sel (KS).
- Dimasukkan @100 μ l MK ke dalam sumuran yang tidak berisi sel dengan replikasi 3 kali (triplo) sebagai kontrol media (KM).
- Dimasukkan @50 μ l dosis doksorubisin (DOX) ditambahkan dengan @50 μ l MK ke dalam sumuran yang berisi sel dengan replikasi 3 kali (triplo) sebagai dosis tunggal DOX.
- Dimasukkan @50 μ l dosis ekstrak *Hedyotis diffusa* Willd. (EHD) ditambahkan dengan @50 μ l MK ke dalam sumuran yang berisi sel dengan replikasi 3 kali (triplo) sebagai dosis tunggal EHD.

- Dimasukkan @50 μl dosis doksorubisin (DOX) ditambahkan dengan @50 μl dosis ekstrak *Hedyotis diffusa* Willd. (EHD) ke dalam sumuran yang berisi sel dengan replikasi 3 kali (triplo) sebagai dosis kombinasi DOX-EHD.

g. Dihomogenkan dengan diketuk-ketuk dan digerakkan seperti angka 8.

h. Diamati *well plate* menggunakan mikroskop *inverted*.

i. Disemprot *well plate* menggunakan alkohol 70% kemudian diinkubasi selama 24 jam dalam inkubator $37^\circ\text{C} \pm 5\%\text{CO}_2$.

4.7.5.5 Uji MTT

Prosedur uji MTT adalah sebagai berikut:

- a. Diambil *well plate* dari inkubator $37^\circ\text{C} \pm 5\%\text{CO}_2$ dan diamati menggunakan mikroskop *inverted*.
- b. Disiapkan larutan MTT, *sput* 10 ml, wadah pembuangan, mikropipet, dan tip kuning.
- c. Disemprot (a) dan (b) menggunakan alkohol 70% kemudian dimasukkan ke dalam LAF.
- d. Diambil larutan ekstrak *Hedyotis diffusa* Willd., doksorubisin, dan MK dari sumuran *well plate* menggunakan *sput* 10 ml kemudian dibuang.
- e. Diambil 100 μl larutan MTT menggunakan mikropipet dan dimasukkan kedalam sumuran *well plate*.
- f. Disemprot *well plate* menggunakan alkohol 70% kemudian diinkubasi selama 4 jam dalam inkubator $37^\circ\text{C} \pm 5\%\text{CO}_2$.
- g. Dikeluarkan *well plate* dari inkubator $37^\circ\text{C} \pm 5\%\text{CO}_2$ kemudian diamati menggunakan mikroskop *inverted*.
- h. Disiapkan DMSO, *sput* 10 ml, wadah pembuangan, mikropipet, dan tip kuning.

i. Disemprot (g) dan (h) menggunakan alkohol 70% kemudian dimasukkan ke dalam LAF.

j. Diambil larutan MTT dalam sumuran *well plate* menggunakan *spuit* 10 ml

k. Diambil 100 μ l DMSO menggunakan mikropipet dan dimasukkan kedalam sumuran *well plate*.

l. Disemprot *well plate* menggunakan alkohol 70% kemudian diinkubasi

selama 30 menit dalam inkubator 37°C ± 5%CO₂.

m. Dibaca absorbansi menggunakan *microplate reader* dengan panjang gelombang 570 nm.

Dihitung persentase viabilitas sel menggunakan rumus:

$$\% \text{ viabilitas sel} = \frac{\bar{x} \text{ absorbansi kontrol} - \bar{x} \text{ absorbansi sampel}}{\bar{x} \text{ absorbansi kontrol}} \times 100\%$$

Dihitung nilai *Combination Index* (CI) berdasarkan regresi linear IC₅₀ dan dilakukan interpretasi nilai CI sesuai dengan Tabel 4.1

$$CI = \frac{D_1}{D_{x1}} + \frac{D_2}{D_{x2}}$$

Keterangan:

DX: Kombinasi terapi tunggal yang dibutuhkan untuk memberikan efek sebesar efek kombinasi (D)₁, (D)₂: Konsentrasi kedua senyawa untuk memberikan efek yang sama.

Tabel 4.1 Interpretasi Nilai *Combination Index* (Bijnsdorp et al., 2011).

Nilai CI	Interpretasi
<0,1	efek sinergis sangat kuat
0,1 – 0,3	efek sinergis kuat
0,3 – 0,7	efek sinergis
0,7 – 0,85	efek sinergis sedang
0,85 – 0,9	efek sinergis ringan
0,9 – 1,1	mendekati efek aditif
1,1 – 1,2	efek antagonis ringan
1,2 – 1,45	efek antagonis sedang
1,45 – 3,3	efek antagonis
3,3 – 10	efek antagonis kuat
>10	efek antagonis sangat kuat

4.8 Pengumpulan Data

Data hasil penelitian akan didapatkan persentase viabilitas sel, nilai IC_{50} ekstrak *Hedyotis diffusa* Willd. (EHD) dan doksorubisin (DOX), serta nilai *combination index* (CI). Persentase viabilitas sel didapatkan dari uji sitotoksik tunggal dan kombinasi. Nilai IC_{50} EHD dan DOX didapatkan dari uji sitotoksik tunggal dan akan digunakan sebagai acuan dosis yang akan digunakan untuk uji sitotoksik kombinasi. Nilai *combination index* (CI) didapatkan dari uji sitotoksik kombinasi sehingga dapat diinterpretasikan jenis interaksi yang terjadi dan dosis kombinasi yang dapat menghasilkan efek sinergis. Grafik uji sitotoksik tunggal divisualisasikan menggunakan aplikasi *GraphPad Prism* versi 7.0, sedangkan grafik uji sitotoksik kombinasi divisualisasikan menggunakan aplikasi *Origin* versi 2018b.

BAB 5

HASIL PENELITIAN DAN ANALISIS DATA

5.1 Hasil Ekstraksi Rumph Lidah Ular (*Hedyotis diffusa* Willd.)

Rumput lidah ular (*Hedyotis diffusa* Willd.) diekstraksi menggunakan

metode ekstraksi dingin yaitu maserasi. Merasasi dilakukan dengan merendam

simplisia dalam pelarut tertentu di wadah tertutup pada suhu ruang selama jangka

waktu minimal 3 hari. Proses ini bertujuan untuk merusak dinding sel tumbuhan

sehingga dapat melepaskan senyawa fitokimia terlarut (Azwanida, 2015). Serbuk

simplisia yang digunakan sebesar 160,05 gram dengan menggunakan pelarut

etanol 80% dengan perbandingan 1:10 yang terbagi dalam 3 kali proses maserasi.

Maserat yang dihasilkan kemudian dipekatkan menggunakan *rotary evaporator*

dengan suhu 50°C dengan kecepatan putar 30 rpm hingga terbentuk ekstrak

pekat. Ekstrak pekat yang diperoleh kemudian di oven pada suhu 45°C agar

terbentuk ekstrak yang lebih padat. Ekstrak yang dihasilkan berbentuk pasta dan

berwarna coklat kehitaman dengan berat ekstrak sebesar 11,65 gram dengan

persentase rendemen yaitu 7,28%.

5.2 Hasil Optimasi Jumlah Penanaman Sel dan Waktu Inkubasi Sel untuk

Plattting

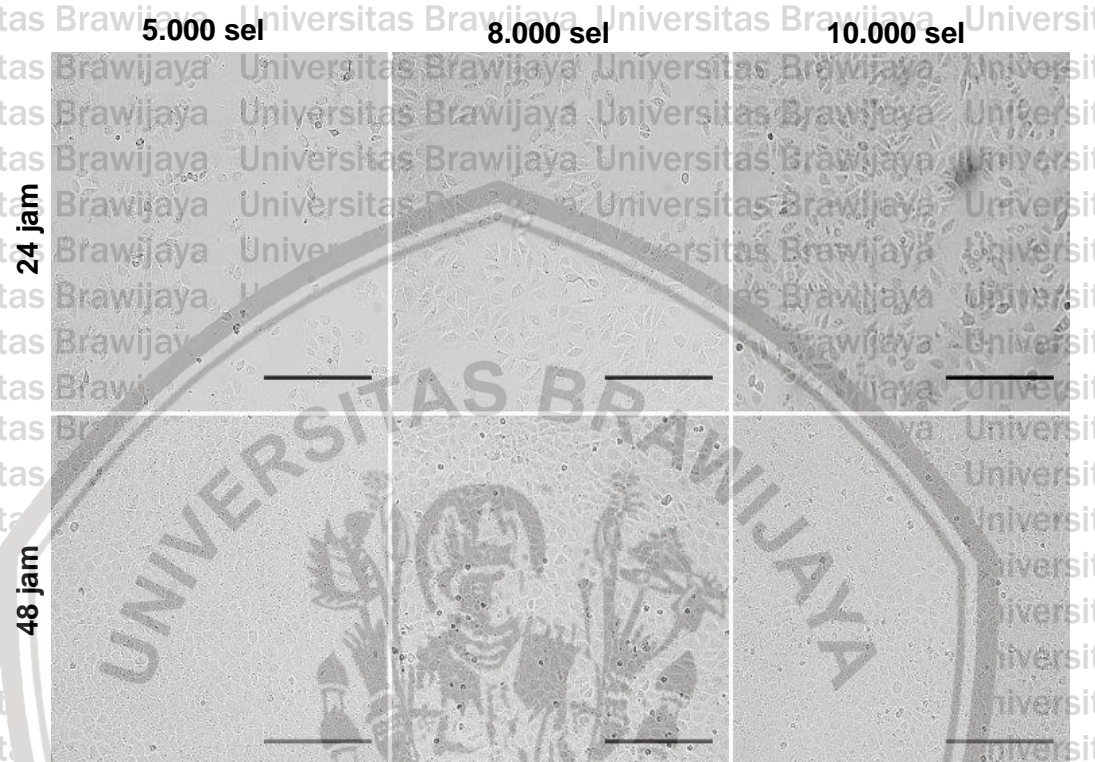
Optimasi jumlah sel dan waktu inkubasi sel dilakukan untuk mendapatkan

konfluen sel sebesar 60-70%. Hal ini dikarenakan apabila konfluen sel terlalu

besar dapat menyebabkan sel tidak mempunyai ruang untuk membelah diri dan

kesulitan untuk bernafas sehingga dapat mempengaruhi viabilitas sel. Optimasi ini

dilakukan dengan melakukan penanaman sel dengan jumlah sel 5.000, 8.000, dan 10.000 serta inkubasi sel selama 24 dan 48 jam (**Gambar 5.1**).



Gambar 5.1 Pengamatan Sebaran Sel pada Optimasi Jumlah Penanaman Sel dan Waktu Inkubasi Sel. Pengamatan dilakukan menggunakan mikroskop *inverted* dengan perbesaran 100 kali dan skala garis 10 μm . Waktu inkubasi sel selama 24 jam menunjukkan konfluen sel sebesar 50-85%, sedangkan inkubasi sel selama 48 jam menunjukkan konfluen sel 100%. Inkubasi sel selama 24 jam dengan penanaman sel sebanyak 5.000 sel menunjukkan konfluen sel sebesar 50-60%, sedangkan 8.000 sel menunjukkan konfluen sel 60-70%, dan 10.000 sel menunjukkan konfluen sel yaitu 80-85%.

Berdasarkan optimasi jumlah penanaman sel dan waktu inkubasi sel yang telah dilakukan, jumlah sel yang ditanam untuk *plattting* dalam penelitian ini sebesar 8.000 sel dengan waktu inkubasi selama 24 jam dengan konfluen sel sebesar 60-70%.

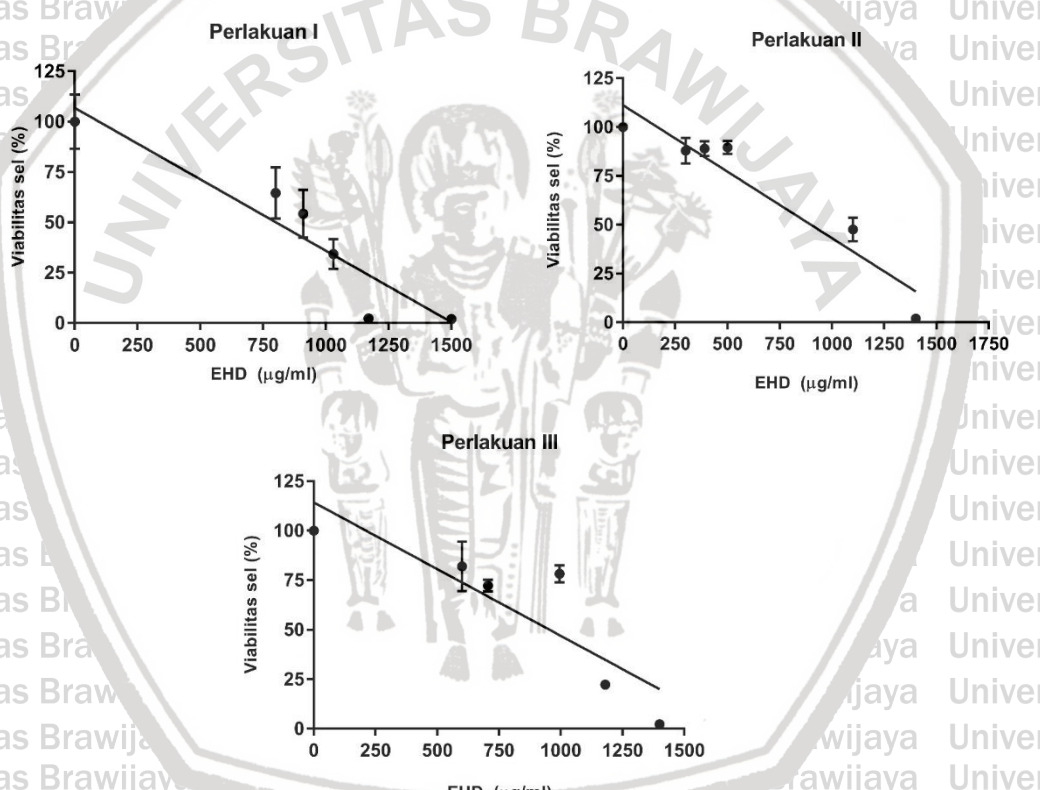
5.3 Hasil Uji Sitotoksik Tunggal

Uji sitotoksik tunggal ekstrak *Hedyotis diffusa* Willd. (EHD) dan doksorubisin (DOX) perlu dilakukan sebelum uji kombinasi dengan tujuan untuk

melihat efek sitotoksik dari *Hedyotis diffusa* Willd. dan doktorubisin terhadap viabilitas sel serta menentukan nilai IC_{50} . Uji ini dilakukan menggunakan metode MTT assay untuk melihat viabilitas sel.

5.3.1 Hasil Uji Sitotoksik Tunggal Ekstrak *Hedyotis diffusa* Willd. (EHD)

Hasil uji sitotoksik tunggal didapatkan bahwa pemberian ekstrak *Hedyotis diffusa* Willd. (EHD) berpengaruh terhadap viabilitas sel. Kenaikan konsentrasi EHD sebanding dengan penurunan persentase viabilitas sel (**Gambar 5.2**).

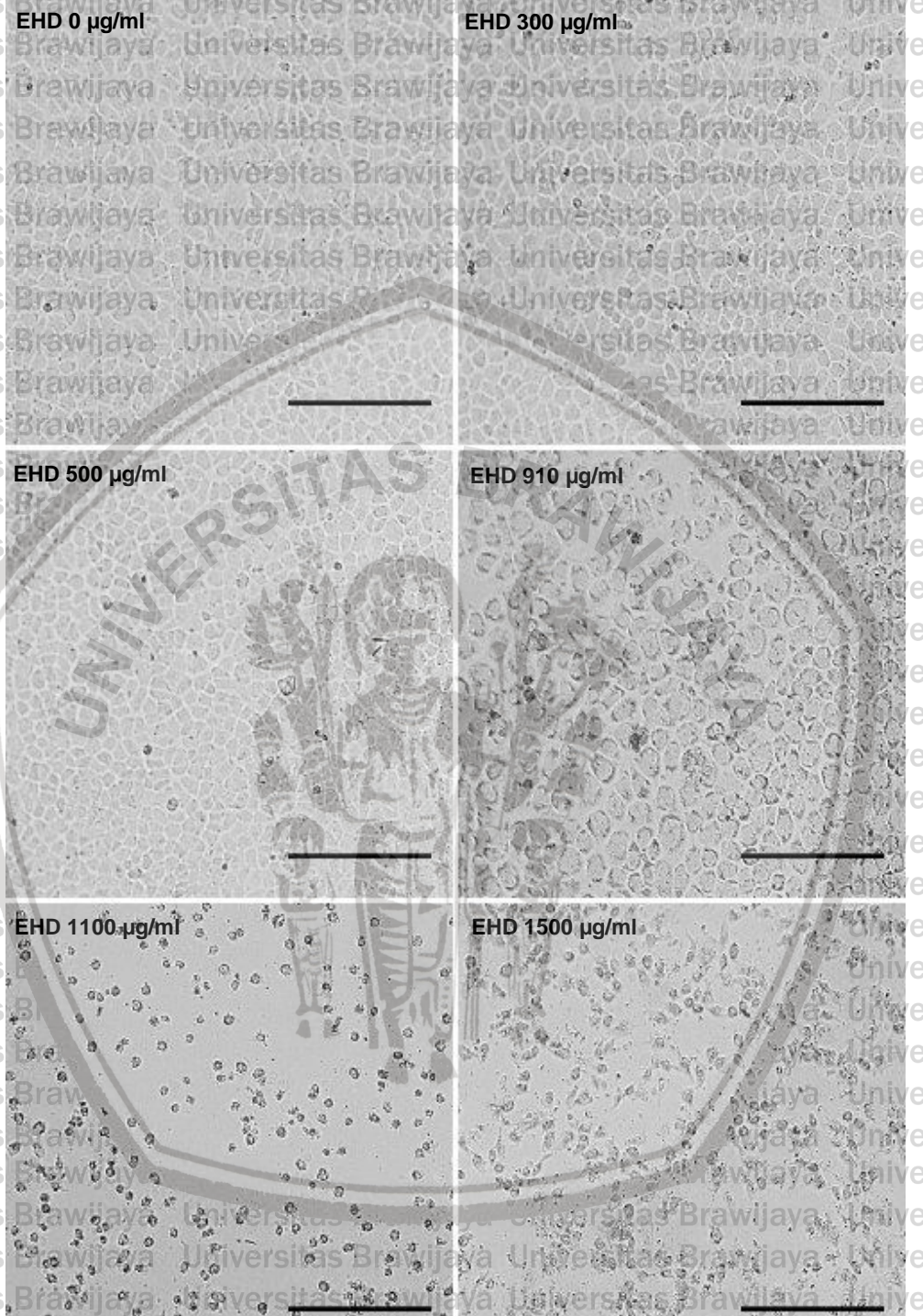


Gambar 5.2 Grafik Pengaruh Pemberian EHD terhadap Viabilitas Sel.
Pengaruh pemberian EHD terhadap viabilitas sel dilakukan dengan pemaparan ekstrak selama 24 jam pada 8000 sel yang telah diinkubasi selama 24 jam sebelumnya. Viabilitas sel diukur menggunakan metode MTT assay dengan pembacaan absorbansi menggunakan *microplate reader* pada panjang gelombang 570 nm. Data menunjukkan terdapat perbedaan yang signifikan antara perlakuan dan kontrol. (**Perlakuan I**) $p=0,0056$; (**Perlakuan II**) $p=0,0031$; dan (**Perlakuan III**) $p=0,023$. EHD = Ekstrak *Hedyotis diffusa* Willd.

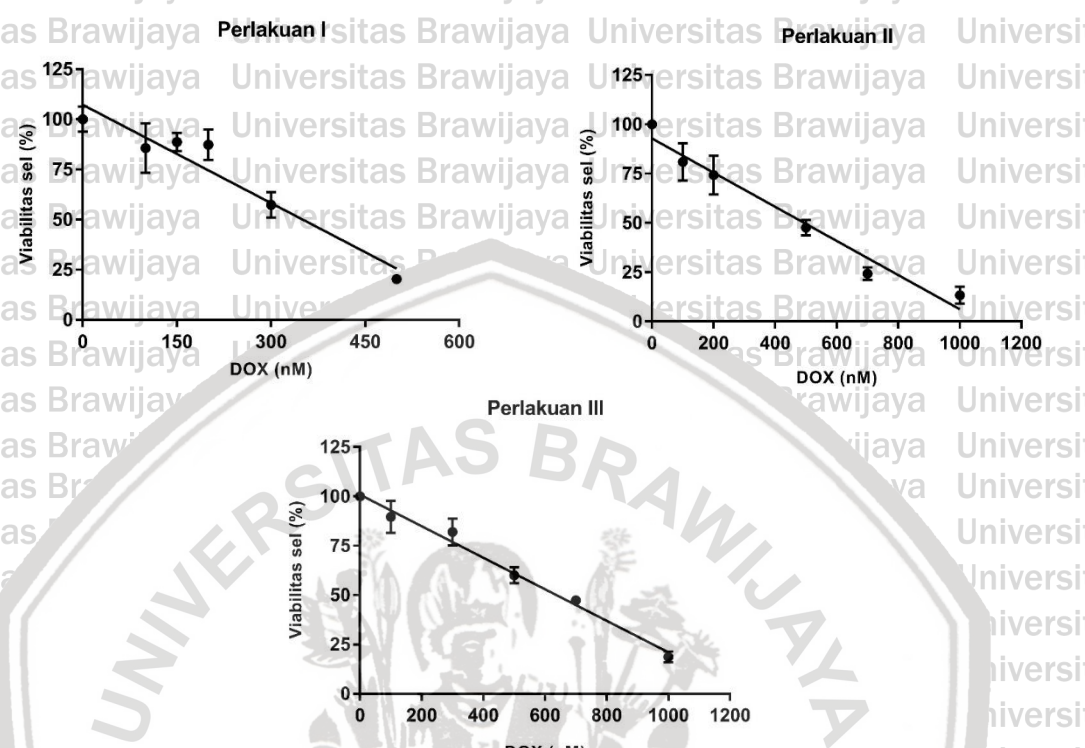
Nilai IC₅₀ EHD pada uji sitotoksik tunggal didapatkan dari tiga perlakuan melalui perhitungan regresi linear. Regresi linear pada perlakuan I adalah $y = -0,0956x + 134,88$ ($R^2=0,8119$) dengan nilai IC₅₀ sebesar 888 µg/ml. Regresi linear pada perlakuan II adalah $y = -0,0769x + 120,18$ ($R^2=0,9301$) dengan nilai IC₅₀ sebesar 988 µg/ml. Sedangkan regresi linear pada perlakuan III adalah $y = -0,0997x + 148,51$ ($R^2=0,8077$) dengan nilai IC₅₀ sebesar 913 µg/ml. Rata-rata nilai IC₅₀ EHD didapatkan $930 \pm 30,143$ µg/ml (**Lampiran 7**). Pemberian EHD terhadap sel MCF-7 dengan inkubasi selama 24 jam menyebabkan perubahan sebaran sel (**Gambar 5.3**).

5.3.2 Hasil Uji Sitotoksik Tunggal Doksorubisin (DOX)

Pemberian doksorubisin (DOX) pada sel MCF-7 menyebabkan penurunan viabilitas sel. Tingginya konsentrasi doksorubisin yang diberikan sebanding dengan penurunan persentase viabilitas sel (**Gambar 5.4**). Penentuan nilai IC₅₀ DOX dihitung menggunakan regresi linear yang didapatkan pada uji sitotoksik tunggal dengan perlakuan sebanyak 3 kali. Regresi linear pada perlakuan I adalah $y = -0,183x + 113,55$ ($R^2=0,9431$) dengan nilai IC₅₀ sebesar 350 nM. Regresi linear pada perlakuan II adalah $y = -0,0798x + 87,907$ ($R^2=0,9773$) dengan nilai IC₅₀ sebesar 480 nM. Sedangkan regresi linear pada perlakuan III adalah $y = -0,0799x + 101,34$ ($R^2=0,9876$) dengan nilai IC₅₀ sebesar 640 nM. Rata-rata nilai IC₅₀ DOX didapatkan $490 \pm 83,293$ nM (**Lampiran 8**).



Gambar 5.3 Sebaran Sel Setelah Inkubasi Selama 24 Jam dengan Penambahan EHD. Perubahan sebaran sel setelah inkubasi selama 24 jam dengan penambahan EHD diamati menggunakan mikroskop *inverted* dengan perbesaran 100x dan skala baris 10 μm . Pemberian EHD menyebabkan sel secara perlahan melebar kemudian terlepas dari dasar sumuran *plate* dan berbentuk bulat. Pemberian EHD dengan konsentrasi yang lebih tinggi menyebabkan sel berbentuk tidak beraturan. EHD = Ekstrak *Hedyotis diffusa* Willd.



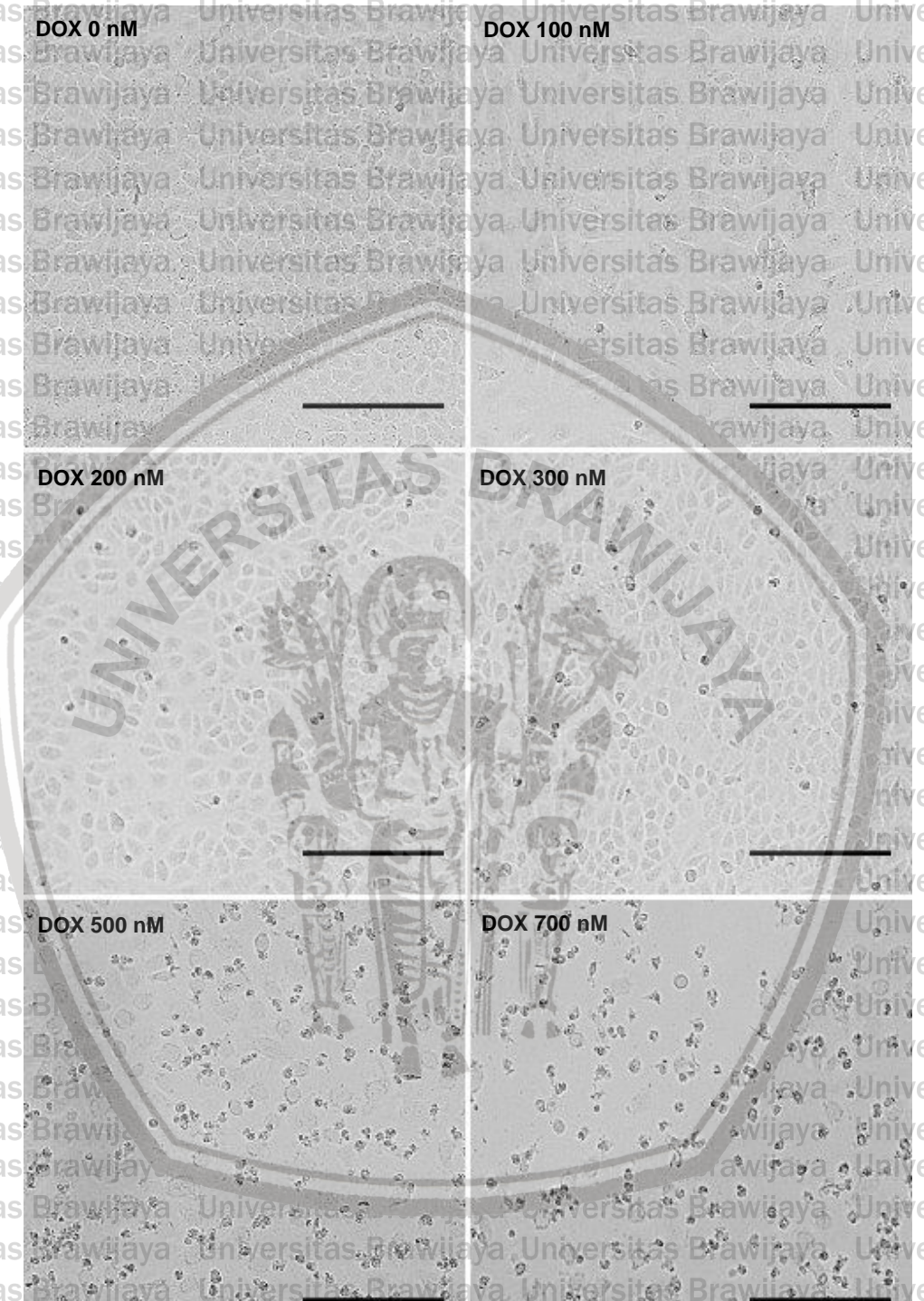
Gambar 5.4 Grafik Pengaruh Pemberian DOX terhadap Viabilitas Sel.

Pengaruh pemberian doksorubisin terhadap viabilitas sel dilakukan dengan pemaparan selama 24 jam pada 8000 sel yang telah diinkubasi selama 24 jam sebelumnya. Viabilitas sel diukur menggunakan metode MTT assay dengan pembacaan absorbansi menggunakan *microplate reader* pada panjang gelombang 570 nm. Data menunjukkan terdapat perbedaan yang signifikan antara perlakuan dan kontrol. (**Perlakuan I**) $p=0,0019$, (**Perlakuan II**) $p=0,0004$; dan (**Perlakuan III**) $p<0,0001$. DOX = Doksorubisin.

Sebaran sel MCF-7 berubah saat diberikan DOX dengan inkubasi selama

24 jam. Perubahan sebaran sel diamati menggunakan mikroskop *inverted*

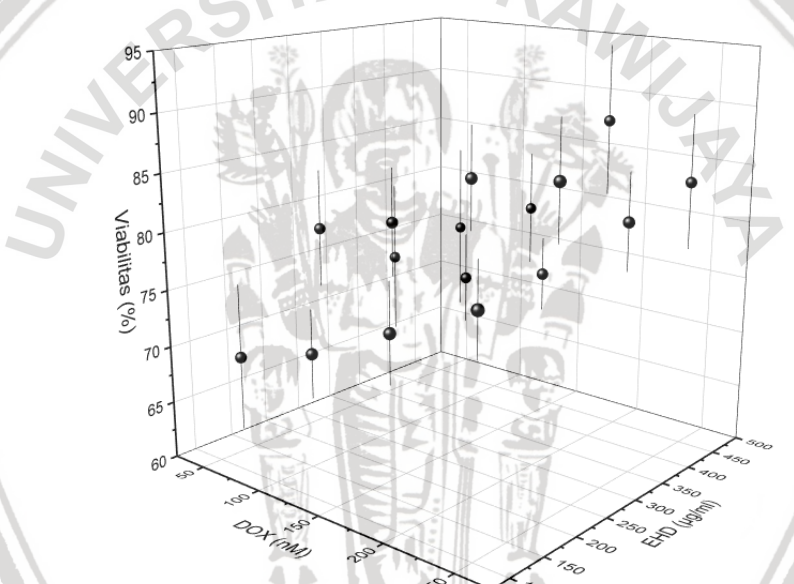
(Gambar 5.5).



Gambar 5.5 Sebaran Sel Setelah Inkubasi Selama 24 Jam dengan Penambahan DOX. Perubahan sebaran sel setelah inkubasi selama 24 jam dengan penambahan DOX diamati menggunakan mikroskop *inverted* dengan perbesaran 100x dan skala baris 10 μm . Pemberian DOX pada konsentrasi rendah, menyebabkan sel melebar kemudian pada konsentrasi yang lebih tinggi, sel terlepas dari dasar sumuran plate dan berbentuk bulat. DOX = Doksorubisin.

5.4 Hasil Uji Sitotoksik Kombinasi

Uji sitotoksik kombinasi EHD dan DOX digunakan dosis sebesar 1/2 IC₅₀, 3/8 IC₅₀, 1/4 IC₅₀, dan 1/8 IC₅₀. Dosis yang digunakan untuk EHD yaitu 116 µg/ml, 232 µg/ml, 349 µg/ml, dan 465 µg/ml. Dosis yang digunakan untuk DOX yaitu sebesar 61 nM, 123 nM, 184 nM, dan 245 nM. Pada uji sitotoksik kombinasi didapatkan persentase viabilitas sel sehingga dapat dihitung nilai *combination index* (CI) dengan replikasi sebanyak 3 kali (**Lampiran 9**). Pemberian kombinasi EHD dan DOX berpengaruh terhadap viabilitas sel (**Gambar 5.6**)



Gambar 5.6 Grafik Pengaruh Pemberian Kombinasi EHD dan DOX terhadap Viabilitas Sel. Pengaruh pemberian kombinasi EHD dan DOX terhadap viabilitas sel dilakukan dengan pemaparan selama 24 jam pada 8000 sel yang telah diinkubasi selama 24 jam sebelumnya. Viabilitas sel diukur menggunakan metode MTT assay dengan pembacaan absorbansi menggunakan *microplate reader* pada panjang gelombang 570 nm. Uji sitotoksik kombinasi ini dilakukan 3 kali replikasi sehingga didapatkan rata-rata viabilitas sel. Data menunjukkan tidak terdapat perbedaan yang signifikan antar kombinasi dosis ($p=0,987$). EHD = Ekstrak *Hedyotis diffusa* Willd.; DOX = Doksorubicin.

Penambahan EHD dan DOX dengan inkubasi selama 24 jam menyebabkan perubahan sebaran sel yang diamati menggunakan mikroskop *inverted*. Sel yang mengalami kematian terlepas dari dasar sumuran *plate* dan

berbentuk bulat, sedangkan sel yang hidup masih menempel pada dasar sumuran plate (**Lampiran 10**).

Efek yang dihasilkan dari kombinasi EHD dan DOX yaitu efek sinergis, aditif, dan antagonis (**Tabel 5.1**). Kombinasi dosis yang mempunyai efek sinergis adalah kombinasi DOX 61 nM dengan EHD 116 µg/ml dan 232 µg/ml dengan nilai CI yaitu 0,437 dan 0,631. Efek sinergis ringan ditunjukkan oleh kombinasi dosis DOX 123 nM dan EHD 123 µg/ml serta dosis DOX 61 nM dan EHD 349 µg/ml. Kombinasi DOX 184 nM dan EHD 116 µg/ml serta DOX 123 nM dan EHD 232 µg/ml menimbulkan efek aditif. Efek antagonis ditunjukkan oleh kombinasi dosis lainnya.

Tabel 5.1 Hasil CI Kombinasi EHD dan DOX

EHD (µg/ml)	Terapi	Dosis	DOX (nM)				
			61	123	184	245	
116	Replikasi	1	0,362	0,848	0,985	1,313	
		2	0,388	0,717	0,903	1,172	
		3	0,562	1,008	1,274	1,626	
	Rata-rata		0,437	0,858	1,054	1,370	
232		1	0,609	0,975	1,137	1,495	
		2	0,529	0,975	1,069	1,461	
		3	0,754	1,446	1,483	2,221	
Rata-rata		0,631	1,001	1,230	1,726		
349	Replikasi	1	0,731	1,247	1,368	2,106	
		2	0,770	1,455	1,339	2,168	
		3	1,180	1,887	1,695	3,398	
	Rata-rata		0,894	1,530	1,467	2,557	
465	Replikasi	1	1,031	1,552	1,614	2,080	
		2	0,909	1,677	1,614	1,946	
		3	1,656	2,775	2,920	3,519	
	Rata-rata		1,199	2,001	2,049	2,515	

Keterangan : Interpretasi nilai CI yaitu efek sinergis (0,3-0,7); efek sinergis sedang (0,7-0,85); efek sinergis ringan (0,85-0,9); efek aditif (0,9-1,1); efek antagonis ringan (1,1-1,2); efek antagonis sedang (1,2-1,45); efek antagonis (1,45-3,3) (Bijnsdorp *et al.*, 2011). EHD = Ekstrak *Hedyotis diffusa* Willd.; DOX = Dokosorubisin.

BAB 6

PEMBAHASAN

6.1 Pembahasan Hasil Penelitian

Pengobatan kanker payudara dapat dilakukan melalui operasi, kemoterapi maupun terapi tambahan. Kemoterapi yang banyak digunakan dan efektif saat ini adalah doksorubisin. Penggunaan doksorubisin perlu dipantau mengingat batasan dosis akumulasi yang dapat menyebabkan toksitas pada jantung (PHSA, 2017). Salah satu cara untuk menurunkan toksitas doksorubisin adalah dengan menurunkan dosis doksorubisin yang digunakan melalui kombinasinya dengan suatu agen antikanker lainnya. Ekstrak rumput lidah ular (*Hedyotis diffusa* Willd.) banyak diresepkan dalam pengobatan herbal Cina untuk terapi kanker payudara dan usus besar (Chen et al., 2016). Sehingga pada penelitian ini dilakukan kombinasi ekstrak *Hedyotis diffusa* Willd. dan doksorubisin untuk mengetahui efek sitotoksik yang terjadi terhadap sel MCF-7.

6.1.1 Ekstraksi Rumput Lidah Ular (*Hedyotis diffusa* Willd.)

Ekstrak rumput lidah ular (*Hedyotis diffusa* Willd.) (EHD) diambil dari *Hedyotis* Herba yang dibuat menjadi serbuk. Hal ini dilakukan karena serbuk mempunyai ukuran partikel yang kecil dan homogen sehingga dapat meningkatkan luas permukaan simplisia yang kontak dengan pelarut ekstraksi. Ekstraksi *Hedyotis diffusa* Willd. dilakukan menggunakan metode maserasi, karena maserasi merupakan metode ekstraksi yang sederhana dan mudah dilakukan serta dapat dilakukan untuk mengeluarkan senyawa fitokimia yang tidak diketahui karakteristiknya seperti tidak tahan terhadap suhu tinggi. Maserasi

simplisia *Hedyotis diffusa* Willd. menggunakan pelarut etanol 80% karena etanol dapat mengekstraksi senyawa yang bersifat polar maupun non polar. Etanol memiliki dua gugus dengan tingkat kepolaran yang berbeda yaitu gugus alkil yang bersifat non polar dan gugus hidroksil yang bersifat polar, sehingga etanol dapat mengekstraksi senyawa dengan tingkat kepolaran yang berbeda (Kristiani et al., 2014). Senyawa polar yang terkandung dalam *Hedyotis diffusa* Willd. meliputi flavonoid dan asam fenol, sedangkan senyawa semi polar meliputi alkaloid, sterol, dan kumarin, serta senyawa non polar yaitu minyak atsiri.

6.1.2 Efek Sitotoksik Tunggal Ekstrak *Hedyotis diffusa* Willd. (EHD) dan

Doksorubisin (DOX)

Viabilitas sel diukur menggunakan metode 3-[4,5-dimetiltiazol-2-il]-2,5-

difenil tetrazolium bromide (MTT). Sel hidup akan mengubah MTT menjadi produk formazan berwarna ungu dengan absorbansi maksimum mendekati 570 nm.

Pembentukan warna ini kemudian dijadikan marker untuk melihat viabilitas sel (Riss et al., 2016).

6.1.2.1 Pengaruh Ekstrak *Hedyotis diffusa* Willd. (EHD) terhadap Viabilitas

Sel

Penelitian ini membuktikan bahwa pemberian ekstrak *Hedyotis diffusa*

Willd. (EHD) mampu menurunkan viabilitas sel. Konsentrasi EHD sebesar 300-

1500 µg/ml mampu menurunkan viabilitas sel hingga 2-90%. Nilai IC₅₀ diukur

sebanyak 3 kali perlakuan dan didapatkan rata-rata sebesar $930 \pm 30,143$ µg/ml.

Nilai IC₅₀ > 501 µg/ml menunjukkan bahwa EHD tidak mempunyai efek antikanker

terhadap lini sel kanker payudara MCF-7 pada penghambatan proliferasi sel

berdasarkan nilai IC₅₀ (Srisawat et al., 2013).

Penelitian yang dilakukan oleh Liu *et al.* (2010) membuktikan bahwa senyawa metilantrakuinon *Hedyotis diffusa* Willd. mampu menginduksi apoptosis pada lini sel kanker payudara MCF-7. Metilantrakuinon dari *Hedyotis diffusa* Willd. dapat menginduksi peningkatan kalsium bebas intraseluler dalam sel MCF-7. Akumulasi Ca^{2+} di dalam mitokondria menyebabkan penurunan potensial membran mitokondria sehingga terjadi pelepasan sitokrom c ke dalam sitoplasma dan terjadi aktivasi caspase-9. Selain itu, dalam penelitian ini juga diketahui bahwa terjadi aktivasi caspase-4 dan caspase-7. Metilantrakuinon *Hedyotis diffusa* Willd. dapat menginduksi fosforilasi JNK yang meregulasi protein Bcl-2 dan Bax sehingga terjadi induksi apoptosis (Liu *et al.*, 2010).

6.1.2.2 Pengaruh Doksorubisin (DOX) terhadap Viabilitas Sel

Doksorubisin merupakan obat konvensional antikanker yang banyak digunakan untuk terapi kanker payudara. Penelitian ini membuktikan bahwa pemberian DOX mampu menurunkan viabilitas sel. Konsentrasi DOX sebesar 100-1000 nM mampu menurunkan viabilitas sel hingga 13-90%. Nilai IC_{50} diukur sebanyak 3 kali perlakuan dan didapatkan rata-rata sebesar $490 \pm 83,293$ nM.

Doksorubisin merupakan obat kemoterapi yang bekerja melalui hambatan topoisomerase II, pembentukan radikal bebas, dan induksi protein p53. Topoisomerase II merupakan enzim yang berperan penting dalam perubahan bentuk topologis DNA dalam proses replikasi dan transkripsi. Struktur kuinon DOX dapat dioksidasi menjadi radikal semikuinon yang secara cepat bereaksi dengan oksigen sehingga menghasilkan superokida dan hydrogen peroksida yang menyebabkan kerusakan DNA. Protein p53 merupakan protein pensupresi tumor yang menjaga homeostasis dengan mengekspresikan protein p21 sebagai regulator siklus sel (Lu, 2010 ; Yang *et al.*, 2014).

6.1.3 Efek Kombinasi Ekstraktif *Hedyotis diffusa* Willd. ja (EHD) dan Doksorubisin (DOX)

Efek pemberian kombinasi EHD dan DOX diukur menggunakan *combination index* (CI) sehingga dapat disimpulkan jenis interaksi sitotoksik yang terjadi. CI merupakan indeks yang menggambarkan interaksi farmakodinamik secara kuantitatif meliputi sinergis, aditif, dan antagonis (Chou, 2010). Dosis kombinasi EHD dan DOX yang digunakan yaitu sebesar 1/2 IC₅₀, 3/8 IC₅₀, 1/4 IC₅₀, dan 1/8 IC₅₀. Dosis EHD yang digunakan yaitu 116 µg/ml, 232 µg/ml, 349 µg/ml, dan 465 µg/ml. Dosis DOX yang digunakan yaitu 61 nM, 123 nM, 184 nM, dan 245 nM. Penelitian ini membuktikan bahwa kombinasi EHD dan DOX mampu memberikan efek sinergis berdasarkan *combination index*. Kombinasi dosis yang mempunyai efek sinergis adalah kombinasi DOX 61 nM dengan EHD 116 µg/ml dan 232 µg/ml dengan nilai CI yaitu 0,437 dan 0,631. Efek sinergis ringan ditunjukkan oleh kombinasi dosis DOX 123 nM dan EHD 123 µg/ml serta dosis DOX 61 nM dan EHD 349 µg/ml. Kombinasi DOX 184 nM dan EHD 116 µg/ml serta DOX 123 nM dan EHD 232 µg/ml menimbulkan efek aditif. Efek antagonis ditunjukkan oleh kombinasi dosis lainnya.

Efek sinergis yang dihasilkan dari kombinasi EHD dan DOX dapat ditimbulkan karena efek farmakologis dari kedua senyawa tersebut yang sama yaitu efek antikanker. Dalam penelitian ini diketahui bahwa EHD dan DOX masing-masing mempunyai efek sitotoksik yang dapat dilihat melalui penurunan viabilitas sel. Namun, efek sinergis yang dihasilkan bergantung pada dosis kombinasi EHD dan DOX. Kombinasi EHD dan DOX juga dapat menimbulkan efek antagonis. Hal ini dapat disebabkan dikarenakan adanya efek farmakologis lain dari EHD yang berbanding terbalik dengan mekanisme aksi DOX sebagai obat antikanker.

Penelitian yang dilakukan oleh Lu *et al.* (2000) didapatkan bahwa senyawa flavonoid dan iridoid *Hedyotis diffusa* Willd. mempunyai efek antioksidan dengan efek sebagai anion superoksida scavengers dan anti-lipid peroksidasi minor (Chen *et al.*, 2016). Salah satu mekanisme aksi DOX sebagai obat antikanker adalah melalui pembentukan radikal bebas (Lu, 2010).

Hedyotis diffusa Willd. menjadi herbal yang paling banyak diresepkan untuk pengobatan kanker payudara di Taiwan pada tahun 2008 (Yeh *et al.*, 2014).

Pengobatan kanker di Cina menggunakan *Hedyotis diffusa* Willd. dengan dosis 30-40 gram dekokta (Shu-De, 2003). Dalam kombinasi EHD dan DOX hanya dibutuhkan dosis EHD sebesar 116 µg/ml atau 348 mg pada volume distribusi plasma 3 liter, sehingga dibutuhkan 4,78 gram simplisia untuk rute injeksi intravena.

Dosis doksorubisin yang digunakan sebagai agen terapi tunggal adalah 60-75 mg/m² yang diadministrasikan melalui injeksi intravena pada interval waktu 21 hari (FDA, 2003) atau 103,80-129,75 mg pada luas permukaan tubuh 1,73 m².

Sedangkan dosis doksorubisin yang digunakan sebagai kombinasi siklofosfamid untuk terapi kanker payudara adalah 60 mg/m² yang diadministrasikan melalui injeksi intravena (PHSA, 2018) atau 103,80 mg pada luas permukaan tubuh 1,73 m². Dalam kombinasi EHD dan DOX dibutuhkan dosis doksorubisin sebesar 61

nM atau 0,03538 µg/ml, sehingga dibutuhkan dosis doksorubisin 0,106 mg pada volume distribusi plasma 3 liter. Hal ini membuktikan bahwa dosis doksorubisin yang dibutuhkan untuk terapi kanker payudara jauh lebih rendah apabila dikombinasikan dengan EHD dibandingkan penggunaannya sebagai agen terapi tunggal maupun sebagai kombinasi dengan siklofosfamid.

Rendahnya dosis doksorubisin yang digunakan, dapat menurunkan resiko

terjadinya efek samping yang ditimbulkan. Doksorubisin dapat menyebabkan

terjadinya gagal jantung kongestif dengan probabilitas 1,5% pada dosis akumulasi

sebesar 300 mg/m^2 dan resiko akan meningkat secara cepat dengan dosis

akumulasi lebih dari 400 mg/m^2 (FDA 2003).

6.2 Implikasi terhadap Bidang Kefarmasian

Ekstrak *Hedyotis diffusa* Willd. dapat dikembangkan sebagai terapi

tambahan kanker payudara. Dalam penelitian ini ekstrak *Hedyotis diffusa* Willd.

dikombinasikan dengan obat antikanker doksorubisin untuk terapi

adenokarsinoma. Kombinasi ekstrak *Hedyotis diffusa* Willd. dan doksorubisin ini

diharapkan mampu memberikan efek sinergis sehingga dapat menurunkan resiko

efek samping obat, serta dapat mengurangi resiko resistensi.

6.3 Keterbatasan Penelitian

Keterbatasan dalam penelitian ini meliputi:

1. Tidak dilakukannya uji secara kualitatif dan kuantitatif mengenai

kandungan senyawa fitokimia dalam ekstrak.

2. Uji kandungan etanol dalam ekstrak.

3. Uji toksitas ekstrak terhadap sel normal.

BAB 7

PENUTUP

7.1 Kesimpulan

Kesimpulan yang dapat diambil pada penelitian ini adalah:

1. Ekstrak rumput lidah ular (*Hedyotis diffusa* Willd.) tidak mempunyai efek antikanker pada jalur penghambatan proliferasi sel, sedangkan doksorubisin mempunyai efek antikanker pada jalur penghambatan proliferasi sel berdasarkan nilai IC_{50} pada kultur sel MCF-7.
2. Kombinasi ekstrak rumput lidah ular (*Hedyotis diffusa* Willd.) dan doksorubisin mampu memberikan efek sitotoksik yang sinergis berdasarkan *combination index* (CI) dengan dosis doksorubisin 61 nM dan ekstrak rumput lidah ular (*Hedyotis diffusa* Willd.) 116 μ g/ml dan 232 μ g/ml dengan nilai CI sebesar 0,437 dan 0,631.

7.2 Saran

1. Perlu dilakukan uji secara kualitatif dan kuantitatif mengenai senyawa fitokimia yang terkandung di dalam ekstrak. Uji secara kualitatif dapat dilakukan melalui skrining senyawa fitokimia, sedangkan uji secara kuantitatif dilakukan dengan *high performance liquid chromatography* (HPLC). Uji kualitatif dan kuantitatif senyawa fitokimia ini dilakukan untuk standarisasi ekstrak sehingga mutu ekstrak terjaga.
2. Perlu dilakukan uji kandungan etanol dalam ekstrak karena etanol dapat bersifat toksik terhadap sel. Etanol sejumlah kandungannya dalam ekstrak diberikan pada sel dan digunakan sebagai kontrol.

3. Perlu dilakukan uji toksisitas ekstrak terhadap sel normal menggunakan sel fibroblas sebagai kontrol.
4. Penelitian dapat dikembangkan dengan meneliti lebih lanjut mengenai peningkatan sensitivitas doksorubisin dengan pemberian kombinasi bersama ekstrak *Hedyotis diffusa* Willd. menggunakan lini sel kanker payudara MDA-MB-231/DR (MDA-MB-231/*Doxorubicin resistant*).
5. Penelitian dapat dikembangkan dengan meneliti lebih lanjut mengenai apoptosis sel pada pemberian ekstrak rumput lidah ular (*Hedyotis diffusa* Willd.) dan doksorubisin menggunakan *flow cytometry* dengan *Annexin V* dan *terminal deoxynucleotidyl transferase dUTP nick end labelling* (TUNEL) assay.

DAFTAR PUSTAKA

- American Cancer Society, 2018. Chemotherapy for Breast Cancer. *Treating Breast Cancer*, (Online), (www.cancer.org/cancer/breast-cancer/treatment/chemotherapy-for-breast-cancer.html), diakses 30 Mei 2018).
- Astuti, Y. 2013. *Asuhan Keperawatan pada Ny.C dengan Perawatan Luka Kanker Payudara di RSPAD Gatot Soebroto*. PhD. Thesis, Universitas Indonesia.
- ATCC. 2008. MCF7 (ATCC HTB-22), (Online), (www.atcc.org/Product/All/HTB-22.aspx), diakses 23 Maret 2018).
- Azwanida, N.N. 2015. A Review on the Extraction Methods Use in Medicinal Plants, Principle, Strength and Limitation. *Medicinal & Aromatic Plants* 4 (3): 1-6.
- Bijsnsdorp, I.V., Giovannetti, E. and Peters, G.J. 2011. Analysis of Drug Interaction. *Methods in Molecular Biology* 731 (35) : 1-14.
- Chen, R., He, J., Tong, X., Tang, L. and Liu, M. 2016. The *Hedyotis diffusa* Willd. (Rubiaceae): a Review on Phytochemistry, Pharmacology, Quality Control and Pharmacokinetics. *Molecules* 21: 1-4.
- Chou, T.C. 2010. Drug Combination Studies and Their Synergy Quantification Using The Chou-Talalay Method. *Cancer Research* 70 (2): 440-446.
- Cho, W. 2011. *Evidence-based Anticancer Materia Medica*, Springer, Berlin, p.179-192.
- Dong, Q., Ling, B., Gao, B., Maley, J., Sammynaiken, R. and Yang, J. 2014. *Hedyotis diffusa* Water Extract Diminished the Cytotoxic Effects of Chemotherapy Drugs against Human Breast Cancer MCF7 Cells. *Natural Product Communication* 9 (5): 699-700.
- FDA. 2003. Doxorubicin PI USA, (Online), (www.fda.gov/UCM199635), diakses 12 Desember 2017).

GBIF. 2017. *Hedyotis diffusa* Willd., (Online), (www.gbif.org/species/7610303, diakses 12 Desember 2017).

Gu, G., Barone, I., Gelsomino, L., Giordano, C., Bonofoglio, D., Statti, G., Menichini, F., Catalano, S. and Ando, S. 2012. *Oldenlandia diffusa* Extracts Exert Antiproliferative and Apoptotic Effects on Human Breast Cancer Cells Through ER α /Sp1-mediated p53 Activation. *Journal of Cellular Physiology* 227: 3363-3372.

IARC. 2013. *Latest World Cancer Statistics Global Cancer Burden Rises to 14.1 Million New Cases in 2012 : Marked Increase in Breast Cancers Must Be Addressed.*

Ismail, M.Y.M. 2009. Herb-Drug Interaction and Patient Counseling. *International Journal of Pharmacy and Pharmaceuticals Sciences* 1: 151-161.

IUCN. 2017. *Oldenlandia diffusa* (Snake Needle Grass, Spreading Hedyotis), (Online), (www.iucnredlist.org/details/199702/0, diakses 12 Desember 2017).

Kabel, A.M. and Baali, F.H. 2015. Breast Cancer : Insights into Risk Factors, Pathogenesis, Diagnosis and Management. *Journal of Cancer Research and Treatment* 3: 28-33.

Kemenkes RI. 2009. *Panduan Penatalaksanaan Kanker Payudara*, Kementerian Kesehatan Republik Indonesia Komite Penanggulangan Kanker Nasional, Jakarta, hal 1-50.

Kristiani, V., Halim, F.I., Indraswati, N. and Irawaty, W. 2014. *Ekstraksi Senyawa Fenolik Dari Rambut Jagung Sebagai Antioksidan Alami: Pengaruh Konsentrasi Etanol Dan Waktu Maserasi*. Tugas Akhir. Universitas Katolik Widya Mandala, Surabaya.

Le, C. 2014. Experiment Designs for The Assessment of Drug Combination Synergism. *Austin Biometrics and Biostatistics* 1: 1-6.

Liu, Z., Liu, M. and Lin, J. 2010. Methyl Anthraquinone from *Hedyotis diffusa* Willd. Induces Ca $^{2+}$ -mediated Apoptosis in Human Breast Cancer Cells. *Toxicol In Vitro* 24: 142-147.

Lu, F. 2010. *Pharmacodynamics, Phamacokinetics and Pharmacogenetics of Doxorubicin in Singaporean Breast Cancer Patients*. PhD. Thesis, National University of Singapore.

PHSA. 2017. Drug Name: Doxorubicin. *BC Cancer Agency Cancer Drug Manual* 5: 1-12.

PHSA. 2018. BC Cancer Protocol Summary for Adjuvant Therapy for Breast Cancer Using Dose Dense Therapy: Doxorubicin and Cyclophosphamide Followed by Paclitaxel and Trastuzumab (Herceptin). *BC Cancer Agency Cancer Drug Manual Summary BRAJACTTG*, p. 1-7.

Rahmatari, A. 2014. Anggapan Kesehatan yang Dirasakan Wanita Usia Subur dalam Memeriksakan Payudara Sejak Dini. *Jurnal Berkala Epidemiologi* 2: 309-320.

Ramli, M. 2015. Update Breast Cancer Management. *Majalah Kedokteran Andalas* 38: 40.

Riss, T.L., Moravec, R.A., Niles, A.L., Duellman, S., Benink, H.A., Worzella, T.J. and Minor, L. 2016. Cell Viability Assays. *Assay Guidance Manual*, p. 1-31.

Rui-jiang, W., Shu-jun, D. and Qi, L. 2014. Nomenclature Clarification of the Traditional Chinese Medicine Baihua-sheshecao and its Adulterants Based on Molecular and Morphological Evidence. *Journal of Tropical and Subtropical Botany* 22: 431-442.

Safarzadeh, E., Shotorbani, S.S. and Bbaradaran, B. 2014. Herbal Medicine as Inducers of Apoptosis in Cancer Treatment. *Advanced Pharmaceutical Bulletin* 4: 421-427.

Shah, R., Rosso, K. and Nathason, D. 2014. Pathogenesis, Prevention, Diagnosis and Treatment of Breast Cancer. *World Journal of Clinical Oncology* 5: 283-298.

Shu-De, Jiao., 2003. *Ten Lectures on The Use of Medicinals from the Personal Experience of Jiao Shu-De*, Paradigm Publications, New Mexico, p. 519.

Sihombing, M. and Saparudin, A.N. 2014. Faktor Risiko Tumor Payudara pada Perempuan Umur 25-65 Tahun di Lima Kelurahan Kecamatan Bogor Tengah. *Pusat Teknologi Kesehatan Dan Epidemiologi Klinik Badan Penelitian Dan Pengembangan, Kementerian Kesehatan RI* 1: 10.

Srisawat, T., Chumkaew, P., Heed-Chim, W., Sukpondma, Y. and Kanokwiroom, K. 2013. Phytochemical Screening and Cytotoxicity of Crude Extract of *Vatica diospyroides* Symington Type LS. *Tropical Journal of Pharmaceutical Research February* 12 (1): 71-76.

Stuart, D.A. 2014. Ulasiman-kalat. *Philipp. Med. & Plants*, (Online), (www.stuartxchange.org/UlasimanKalat.html, diakses 12 Desember 2017).

Suprapti, H. 2008. *Interaksi Obat*. PhD. Thesis, University of Wijaya Kusuma Surabaya.

Tacar, O., Sriamornsak, P and Dass, C.R. 2013. Doxorubicin : an Update on Anticancer Molecular Action. *Journal of Pharmacy And Pharmacology* 65: 157-170.

Thorn, C.F., Oshiro, C., Marsh, S., Hernandez-Boussard, T., McLeod, H., Klein, T.E. and Altman, R.B. 2011. Doxorubicin Pathways : Pharmacodynamics and Adverse Effect. *Pharmacogenet Genomics* 21: 440-446.

Wahidin, M., Noviani, R., Hermawan, S., Andriani, V., Ardian, A. and Djarir, H. 2012. Population-Based Cancer Registration in Indonesia. *Asian Pacific Journal of Cancer Prevention* 13: 1709-1710.

Widowati, L. and Mudahar, H. 2009. Uji Aktivitas Ekstrak Etanol 50% Umbi Keladi Tikus (*Typhonium Flagelliforme* (Lodd) Bi) terhadap Sel Kanker Payudara MCF-7 In Vitro. *Jurnal Media Litbang Kesehatan* 19: 3-8.

Wulandari, R.D. 2008. Genetika Kanker. *Genetika Medik* 1-7.

Yang, F., Teves, S.S., Kemp, C.J. and Henikoff, S. 2014. Doxorubicin, DNA Torsion, and Chromatin Dynamics. *Biochimica et Biophysica Acta Reviews on Cancer* 1845: 84-89.

Yeh, Yuan-Chieh., Chen, Hsing-Yu., Yang, Sien-Hung., Lin, Yi-Hsien., Chiu, Jen-Hwey., Lin, Yi-Hsuan. and Chen, Jiun-Liang. 2014. *Hedyotis diffusa* Combined with *Scutellaria barbata* Are the Core Treatment of Chinese Herbal Medicine Used for Breast Cancer Patients: A Population-Based Study. *Evidence-Based Complementary and Alternative Medicine* 2014:1-9.

Yunas, S.R., Handayani, S. and Hermawan, A. 2017. Sel MCF-7. *Cancer Chemoprevention Research Center*, (Online), (http://ccrc.farmasi.ugm.ac.id/?page_id=1234, diakses 12 Desember 2017).

Zaha, D.C. 2014. Significance of Immunohistochemistry in Breast Cancer. *World Journal of Clinical Oncology* 5 (3): 382-392.

